

## บทที่ 5

### การวิเคราะห์ผลการทดลอง

จากผลการทดลองที่ได้ในบทที่ 4 นำมาวิเคราะห์หาสมบัติต่างๆ ประกอบด้วย การศึกษาโครงสร้างทางจุลภาคของสารแม่เหล็กสตรอนเทียมเพอร์ไพร์ท์ในปัจจัยต่างๆ ว่ามีโครงสร้างอื่นເเจ้อปนอยู่หรือไม่ โดยใช้หลักการการเลี้ยวเบนของรังสีเอกซ์ (XRD) ศึกษาลักษณะและขนาดของเกรนด้วยภาพถ่ายจากกล้องจุลทรรศน์อิเล็กตรอนแบบส่องกราดในเงื่อนไขการเตรียมต่างๆ ศึกษาความหนาแน่นของสารในปัจจัยการเตรียมสารต่างๆ และศึกษาสมบัติแม่เหล็กของสารแม่เหล็กสตรอนเทียมเพอร์ไพร์ท์ในปัจจัยการเตรียมสารต่างๆ จากกราฟวงชีสเทอร์รีซีส โดยจะแบ่งการวิเคราะห์ออกเป็น 3 ส่วน คือ สตรอนเทียมเพอร์ไพร์ทและสตรอนเทียมเพอร์ไพร์ทที่ເเจ้อແلنทานัมเมื่อเผาชินเตอร์ที่อุณหภูมิต่างๆ และผลการເเจ้อແلنทานัมและโคงอลต์ลงในสารแม่เหล็กสตรอนเทียมเพอร์ไพร์ทในปริมาณต่างๆ ในส่วนของการເเจ้อແلنทานัมและโคงอลต์จะศึกษาผลของอุณหภูมิในการเผาชินเตอร์ที่ปริมาณการເเจ้อต่างๆ เมื่อเผาชินเตอร์อุณหภูมิต่างๆ ด้วย

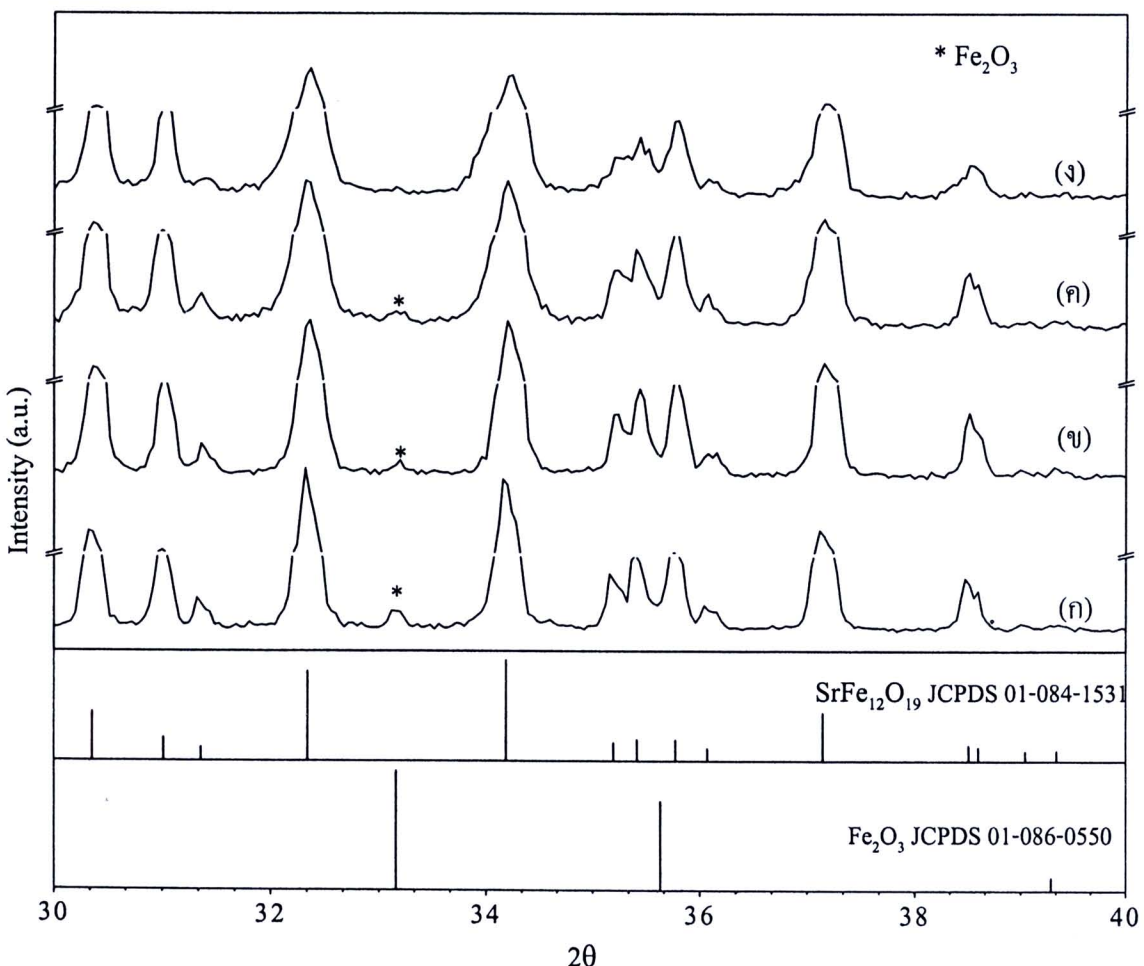
#### 5.1 ผลของอุณหภูมิการเผาชินเตอร์ของสารสตรอนเทียมเพอร์ไพร์ท

การวิเคราะห์จะศึกษาผลของอุณหภูมิเผาชินเตอร์ของ  $\text{SrFe}_{12}\text{O}_{19}$  และ  $\text{Sr}_{0.8}\text{La}_{0.2}\text{Fe}_{12}\text{O}_{19}$  ด้วยเครื่องเลี้ยวเบนของรังสีเอกซ์ (XRD) ศึกษาโครงสร้าง การวิเคราะห์ขนาดเกรนจากกล้องจุลทรรศน์อิเล็กตรอนแบบส่องกราด (SEM) และสมบัติแม่เหล็กจากเครื่องวัดสมบัติแม่เหล็กแบบตัวอย่างสั้น (VSM)

##### 5.1.1 ผลการวิเคราะห์การเลี้ยวเบนของรังสีเอกซ์ ที่อุณหภูมิการเผาชินเตอร์ต่างๆ

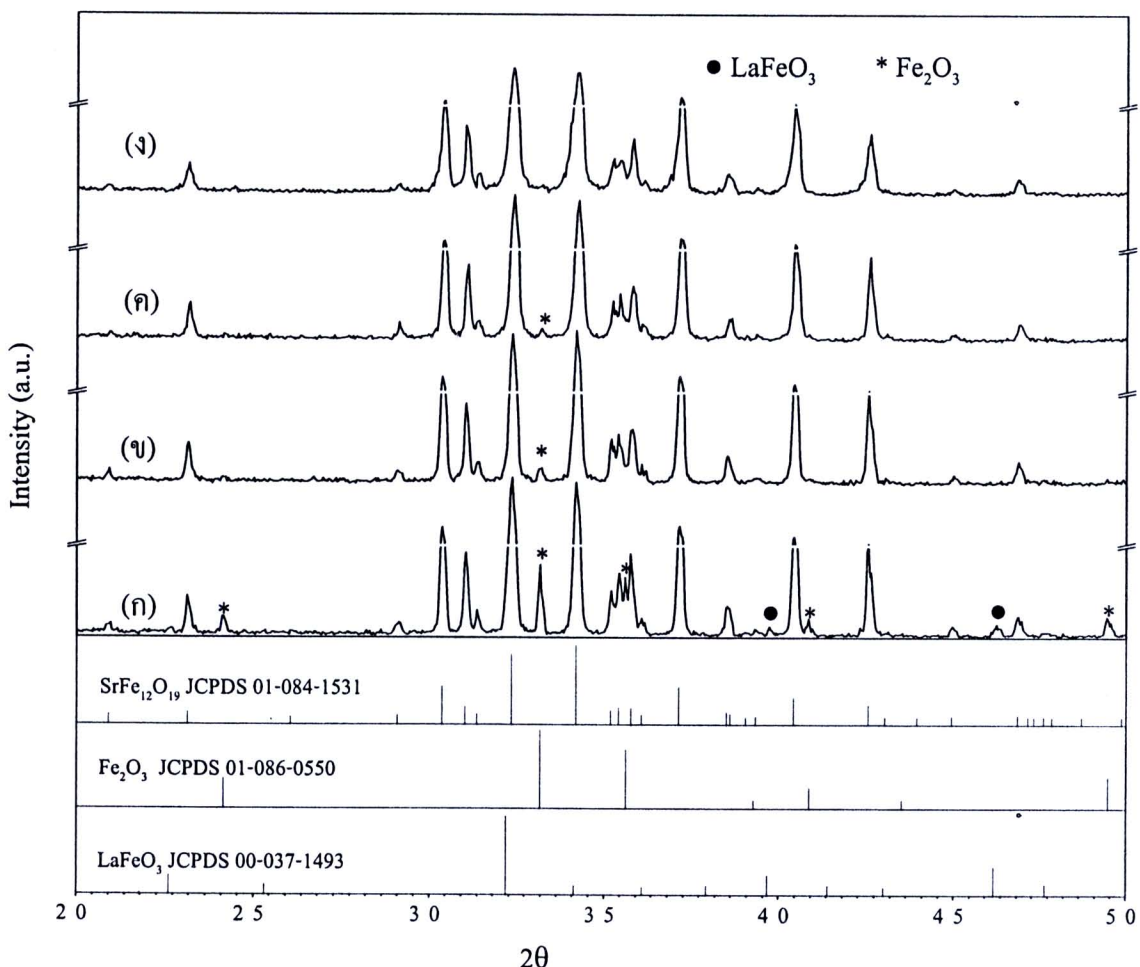
จากรูปแบบการเลี้ยวเบนของรังสีเอกซ์ของ  $\text{SrFe}_{12}\text{O}_{19}$  และ  $\text{Sr}_{0.8}\text{La}_{0.2}\text{Fe}_{12}\text{O}_{19}$  บรรนานาของโครงสร้างแบบเซกเชะโgonอลของ  $\text{SrFe}_{12}\text{O}_{19}$  ซึ่งสอดคล้องกับ JCPDS หมายเลข 01-084-1531 และที่อุณหภูมิการเผาชินเตอร์ต่างๆ มีเฟสอื่นร่วมอยู่ด้วยดังแสดงในรูปที่ 5.1

ผลการวิเคราะห์โครงสร้างของสตอรอนเทียมเฟอร์ไรท์เมื่อเผาชินเตอร์ที่ตั้งแต่  $1150^{\circ}\text{C}$  ถึง  $1300^{\circ}\text{C}$  จากรูปแบบการเลี้ยวเบนของรังสีเอกซ์ พบว่าโครงสร้างของสารจะมีโครงสร้างเป็น  $\text{SrFe}_{12}\text{O}_{19}$  ซึ่งเป็นโครงสร้างแบบเซกกะ โภโนล และพบโครงสร้างของ  $\text{Fe}_2\text{O}_3$  สอดคล้องกับ JCPDS หมายเลข 01-086-0550 เมื่ออุณหภูมิการเผาชินเตอร์ต่ำ ซึ่งโครงสร้างนี้จะลดลงเมื่ออุณหภูมิในการเผาชินเตอร์สูงขึ้นดังรูปที่ 5.1 เนื่องจากโครงสร้างของ  $\text{Fe}_2\text{O}_3$  เป็นสารตั้งต้นที่ยังคงอยู่ในโครงสร้าง สอดคล้องกับการวิจัยของ L.A. García-Cerda และคณะ [10] ที่พบว่าโครงสร้างของ  $\text{Fe}_2\text{O}_3$  นี้จะลดน้อยลงตามอุณหภูมิการเผาที่สูงขึ้นซึ่งทำให้มีโครงสร้าง  $\text{SrFe}_{12}\text{O}_{19}$  สมบูรณ์มากขึ้นตามอุณหภูมิการเผาชินเตอร์ที่สูงขึ้น และผลการศึกษาของ Zai-Bing Guo และคณะ [2] ได้ศึกษาการเตรียมสารสตอรอนเทียมเฟอร์ไรท์ด้วยกระบวนการ Salt-melt method เมื่อเผาที่อุณหภูมิ  $620^{\circ}\text{C} - 850^{\circ}\text{C}$  พบว่าที่อุณหภูมิการเผาชินเตอร์ต่ำจะเกิด เฟส  $\text{Fe}_2\text{O}_3$  แต่เมื่ออุณหภูมิการเผาสูงขึ้นเป็น  $850^{\circ}\text{C}$  เฟส  $\text{Fe}_2\text{O}_3$  จะหายไปทำให้เกิดเฟสเดียวของสตอรอนเทียมเฟอร์ไรท์ สำหรับงานวิจัยนี้โครงสร้างของ  $\text{Fe}_2\text{O}_3$  จะหายไปเมื่อเผาชินเตอร์ที่อุณหภูมิสูงกว่า  $1250^{\circ}\text{C}$



รูปที่ 5.1 ผลการวิเคราะห์โครงสร้างจากรูปแบบการเลี้ยวเบนของรังสีเอกซ์ ของ  $\text{SrFe}_{12}\text{O}_{19}$  เมื่อเผาชินเตอร์ที่อุณหภูมิ (ก)  $1150^{\circ}\text{C}$  (ห)  $1200^{\circ}\text{C}$  (ค)  $1250^{\circ}\text{C}$  และ (จ)  $1300^{\circ}\text{C}$  เป็นเวลา 1 ชั่วโมง

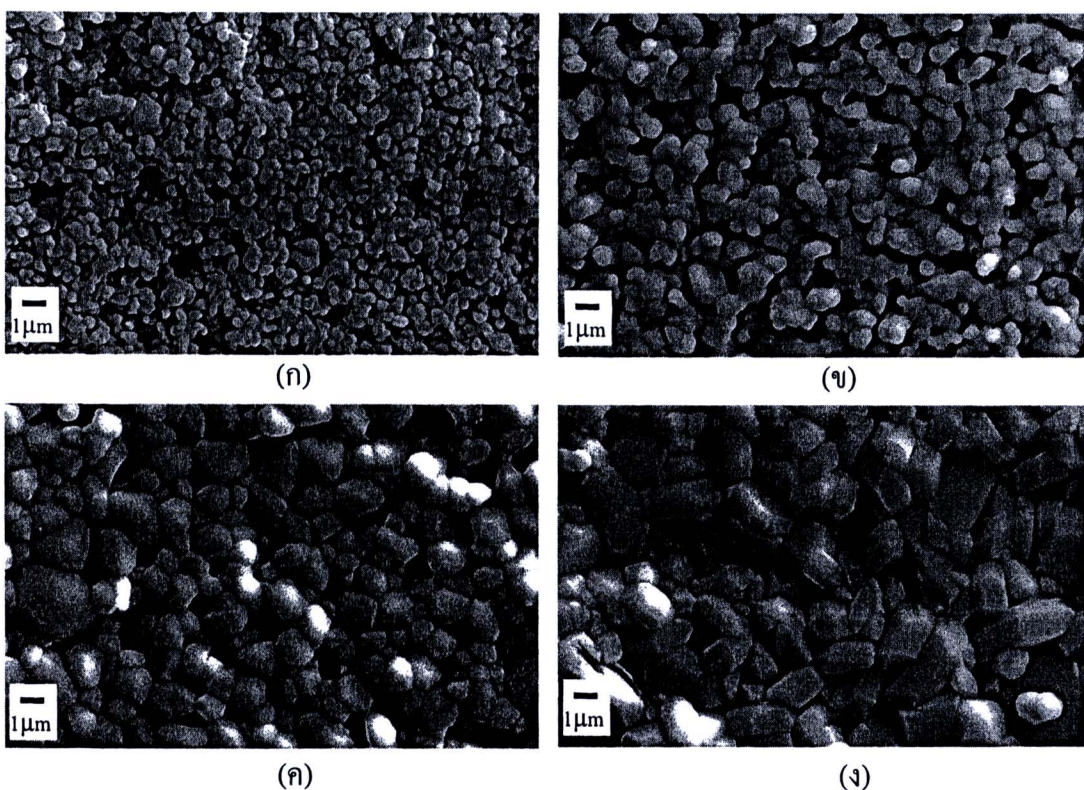
กรณีของ  $\text{Sr}_{0.8}\text{La}_{0.2}\text{Fe}_{12}\text{O}_{19}$  จากรูปแบบการเลี้ยวเบนของรังสีเอกซ์ พบว่าโครงสร้างของสารจะมีโครงสร้างเป็น  $\text{SrFe}_{12}\text{O}_{19}$  ซึ่งเป็นโครงสร้างแบบhexagonal เมื่อกรณีที่ยังไม่เจือแลนทานัม แต่ที่อุณหภูมิในการเผาชินเตอร์ที่อุณหภูมิ  $1150^\circ\text{C}$  พบโครงสร้างของ  $\text{LaFeO}_3$  ซึ่งสอดคล้องกับ JCPDS หมายเลข 00-037-1493 และโครงสร้างของ  $\text{Fe}_2\text{O}_3$  ดังแสดงในรูปที่ 5.2 เมื่ออุณหภูมิการเผาชินเตอร์สูงขึ้นโครงสร้างของ  $\text{Fe}_2\text{O}_3$  และ  $\text{LaFeO}_3$  จะหายไป ทำให้  $\text{Sr}_{0.8}\text{La}_{0.2}\text{Fe}_{12}\text{O}_{19}$  แสดงโครงสร้างเป็นแบบ  $\text{SrFe}_{12}\text{O}_{19}$  มากขึ้นตามอุณหภูมิการเผาชินเตอร์ที่สูงขึ้นเมื่อกรณีไม่ได้เจือแลนทานัม และผลการทดลองสอดคล้องกับการวิจัยของ Xiansong Liu และคณะ [11] ได้ศึกษาผลของการเจือ  $\text{La}^{3+}$  ตามสูตร  $\text{Sr}_{1-x}\text{La}_x\text{Fe}_{12}\text{O}_{19}$  ซึ่งเตรียมด้วยกระบวนการทางเซรามิก พบว่าเมื่อเผาที่อุณหภูมิ  $1240^\circ\text{C}$  เมื่อ  $x = 0$  ถึง 0.30 พบโครงสร้างเดี่ยวของสตอรอนเทียมเฟอร์ไรท์ แต่มีเจือแลนทานัมมากขึ้นจะพบเฟส  $\text{LaFeO}_3$  และ  $\text{Fe}_2\text{O}_3$  สำหรับงานวิจัยนี้พบว่าเฟสของ  $\text{LaFeO}_3$  และ  $\text{Fe}_2\text{O}_3$  จะไม่ปรากฏเมื่อเผาที่อุณหภูมิ  $1300^\circ\text{C}$  และได้สตอรอนเทียมเฟอร์ไรท์เฟสเดียว



รูปที่ 5.2 ผลการวิเคราะห์โครงสร้างจากรูปแบบการเลี้ยวเบนของรังสีเอกซ์ ของ  $\text{Sr}_{0.8}\text{La}_{0.2}\text{Fe}_{12}\text{O}_{19}$  เมื่อเผาชินเตอร์ที่อุณหภูมิ (g)  $1150^\circ\text{C}$  (h)  $1200^\circ\text{C}$  (k)  $1250^\circ\text{C}$  และ (n)  $1300^\circ\text{C}$  เป็นเวลา 1 ชั่วโมง

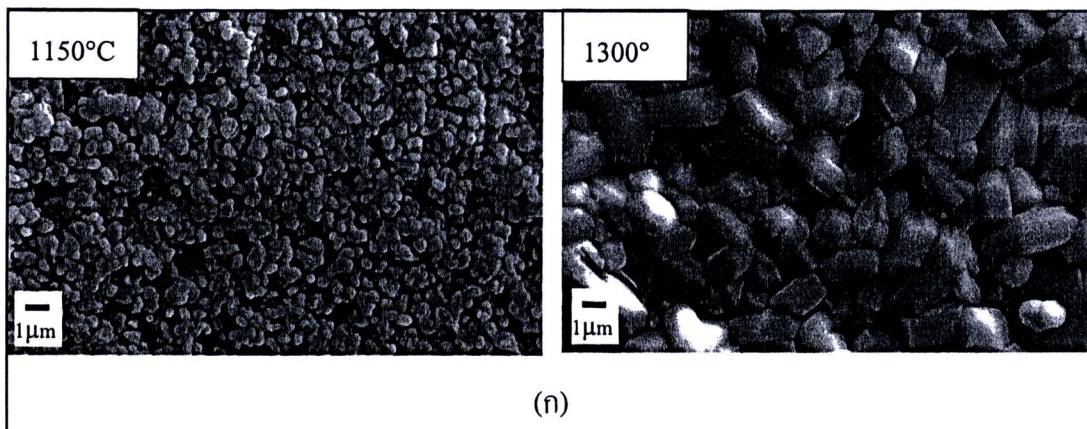
### 5.1.2 ผลการวิเคราะห์อิทธิพลของอุณหภูมิการเผาซินเตอร์ที่มีต่อขนาดเกรน

จากรูปที่ 5.3 แสดงขนาดของเกรนที่มีแนวโน้มขนาดใหญ่ขึ้นเมื่ออุณหภูมิการเผาซินเตอร์สูงขึ้นทั้งในกรณี  $\text{SrFe}_{12}\text{O}_{19}$  และ  $\text{Sr}_{0.8}\text{La}_{0.2}\text{Fe}_{12}\text{O}_{19}$  เนื่องจากที่อุณหภูมิสูงพลังงานอิสระของพื้นผิว (surface free energy) มีค่าสูง อธิบายได้ว่า การเผาซินเตอร์จะช่วยทำให้อุณภูมิที่ผ่านการขึ้นรูปมาแล้ว กล้ายเป็นโครงสร้างที่มีการเชื่อมต่อกันด้วยการใช้ขอบเกรน เนื่องจากพลังงานพื้นฐานสำหรับการซินเตอร์นั้น ได้มาจาก การพยายามลดค่าพลังงานพื้นผิวของอนุภาคผง โดยอาศัยการถ่ายโอนสารจากส่วนที่อยู่ด้านในของเกรนไปตามแนวของขอบเกรนเพื่อเข้าไปแทนที่ของว่างของรูพรุนที่อยู่ใกล้ๆ [12] ซึ่งสอดคล้องกับผลการทดลองของ M. M. Hessien และคณะ [3] ที่ได้ศึกษาสตรอนเทียมเฟอร์ไรท์ที่เตรียมด้วยกระบวนการ co-precipitation พบว่า เมื่ออุณหภูมิในการเผาสูงขึ้นขนาดเกรนจะใหญ่ขึ้น

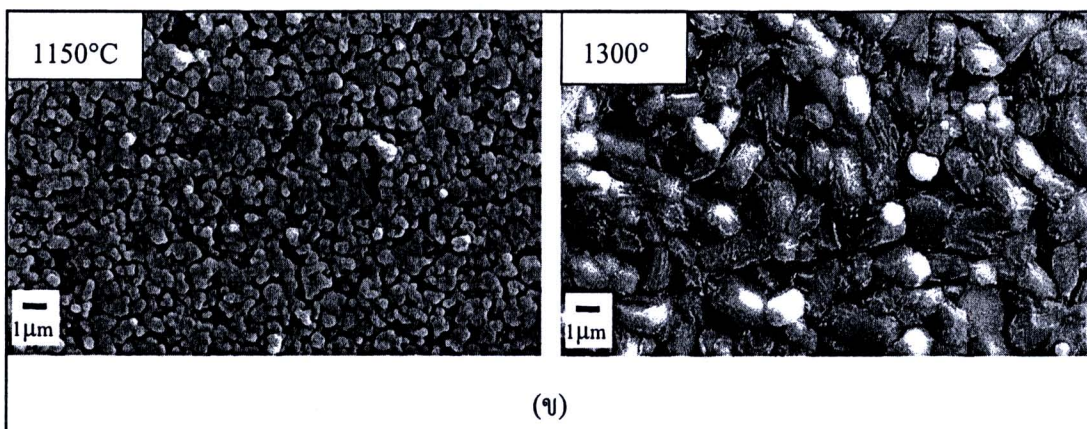


รูปที่ 5.3 ภาพถ่ายจากกล้องจุลทรรศน์อิเล็กตรอนแบบส่อง粒ของ  $\text{SrFe}_{12}\text{O}_{19}$  แสดงผลการเพิ่มขนาดของเกรนเมื่อเผาซินเตอร์ที่อุณหภูมิ (ก)  $1150^{\circ}\text{C}$  (ข)  $1200^{\circ}\text{C}$  (ค)  $1250^{\circ}\text{C}$  และ (จ)  $1300^{\circ}\text{C}$  เป็นเวลา 1 ชั่วโมง

เมื่อพิจารณาที่รูปที่ 5.4 เป็นการเปรียบเทียบขนาดเกรนของ  $\text{SrFe}_{12}\text{O}_{19}$  และ  $\text{Sr}_{0.8}\text{La}_{0.2}\text{Fe}_{12}\text{O}_{19}$  ซึ่งจากรูปแสดงให้เห็นว่าขนาดเกรนของ  $\text{SrFe}_{12}\text{O}_{19}$  และ  $\text{Sr}_{0.8}\text{La}_{0.2}\text{Fe}_{12}\text{O}_{19}$  มีขนาดเกรนใกล้เคียงกันที่อุณหภูมิการเผาชินเตอร์ 1150°C จากผลที่ได้นี้พบว่า การเจือແلنทานัมลงไปในสารแม่เหล็กสตรอนเทียนเฟอร์ไรท์ในปริมาณ  $y = 0.2$  ไม่มีผลต่อขนาดเกรน แต่เมื่อพิจารณาการเผาชินเตอร์ที่ 1300°C พบว่า ลักษณะของเกรนจะมีความแตกต่างกัน และพบว่าเกรนของ  $\text{Sr}_{0.8}\text{La}_{0.2}\text{Fe}_{12}\text{O}_{19}$  มีลักษณะเป็นเหลี่ยมมุมลดลงเมื่อเทียบกับ  $\text{SrFe}_{12}\text{O}_{19}$  จากการเปลี่ยนแปลงนี้ทำให้สมบัติความเป็นแม่เหล็กเปลี่ยนไปดังรูปที่ 5.6



(ก)

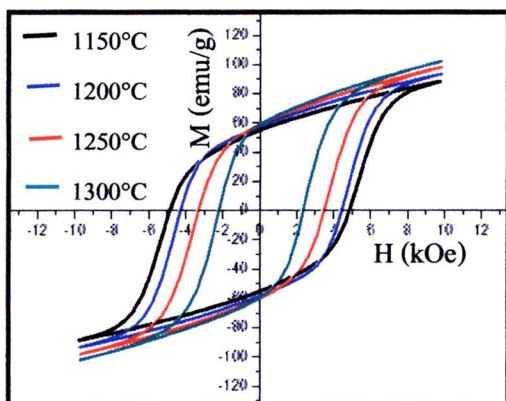


(ก)

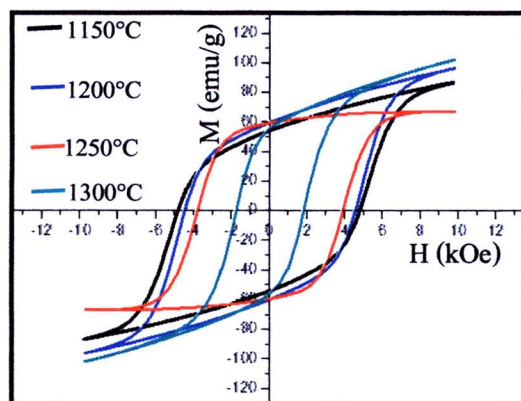
รูปที่ 5.4 ภาพถ่ายจากกล้องจุลทรรศน์อิเล็กตรอนแบบส่องกราดเมื่อเผาชินเตอร์ที่ อุณหภูมิ 1150°C และ 1300°C เป็นเวลา 1 ชั่วโมง ของตัวอย่าง (ก)  $\text{SrFe}_{12}\text{O}_{19}$  และ (ก)  $\text{Sr}_{0.8}\text{La}_{0.2}\text{Fe}_{12}\text{O}_{19}$

### 5.1.3 ผลการวิเคราะห์อิทธิพลของอุณหภูมิการเผาซินเตอร์ที่มีต่อสมบัติทางแม่เหล็กของสารแม่เหล็กสตรอนเทียมเพอร์ไนท์

วงชีสเทอเรซิสของ  $\text{SrFe}_{12}\text{O}_{19}$  และ  $\text{Sr}_{0.8}\text{La}_{0.2}\text{Fe}_{12}\text{O}_{19}$  ที่ได้จากการวิเคราะห์ด้วยเครื่องวัดสมบัติแม่เหล็กแบบตัวอย่างสั้น จากรูปที่ 4.3 และ 4.6 สามารถนำมาหาสมบัติแม่เหล็ก ซึ่งประกอบด้วยค่า สภาพพลบลังแม่เหล็ก ( $H_c$ ) สภาพแม่เหล็กคงค้าง (Remanence,  $M_r$ ) และค่าแมกเน่ไซเซชันอิ่มตัว (Saturation magnetization,  $M_s$ ) จากรูปที่ 5.5(ก) แสดงวงชีสเทอเรซิสของ  $\text{SrFe}_{12}\text{O}_{19}$  พบว่าที่อุณหภูมิการเผาซินเตอร์  $1150^{\circ}\text{C}$  มีพื้นที่ได้กราฟมากที่สุด สัมพันธ์กับพลังงานสูญเสียภายในแกน ( $BH$ )<sub>max</sub> ซึ่งพื้นที่ได้กราฟมากจะมีพลังงานสูญเสียในแกนมากเช่นกัน และพบว่าเมื่ออุณหภูมิการเผาซินเตอร์สูงขึ้นเป็น  $1200^{\circ}\text{C}$  ถึง  $1300^{\circ}\text{C}$  พื้นที่ได้กราฟจะน้อยลงตามอุณหภูมิการเผาที่สูงขึ้น ซึ่งสัมพันธ์กับพลังงานสูญเสียภายในแกนจะน้อยลงตามอุณหภูมิการเผาที่สูงขึ้น จากกราฟพบว่าสภาพแม่เหล็กคงค้างมีค่าเปลี่ยนแปลงไม่มาก ซึ่งอยู่ระหว่าง  $55 - 60 \text{ emu/g}$  ค่าสภาพแม่เหล็กอิ่มตัวมีแนวโน้มสูงขึ้น เมื่ออุณหภูมิในการเผาซินเตอร์สูงขึ้นและค่าสภาพพลบลังแม่เหล็ก มีแนวโน้มลดลงเมื่ออุณหภูมิในการเผาซินเตอร์สูงขึ้นจาก  $800^{\circ}\text{C}$  ถึง  $1100^{\circ}\text{C}$  ค่าสภาพแม่เหล็กคงค้างมีแนวโน้มเปลี่ยนแปลงอยู่ระหว่าง  $55 - 60 \text{ emu/g}$  ส่วนค่าสภาพพลบลังแม่เหล็กมีแนวโน้มลดลง



(ก)

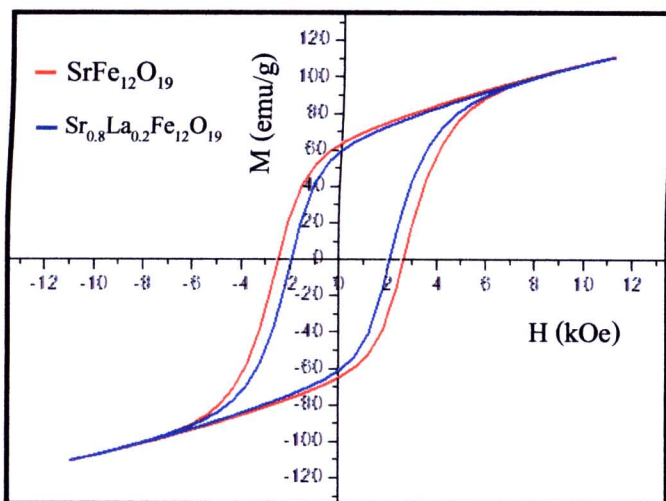


(ข)

รูปที่ 5.5 วงชีสเทอเรซิสของ (ก)  $\text{SrFe}_{12}\text{O}_{19}$  และ (ข)  $\text{Sr}_{0.8}\text{La}_{0.2}\text{Fe}_{12}\text{O}_{19}$  ที่อุณหภูมิการเผาซินเตอร์  $1150^{\circ}\text{C}$   $1200^{\circ}\text{C}$   $1250^{\circ}\text{C}$  และ  $1300^{\circ}\text{C}$  เป็นเวลา 1 ชั่วโมง

จากรูปที่ 5.5(ข) แสดงวงชีสเทอร์ริซีสของ  $\text{Sr}_{0.8}\text{La}_{0.2}\text{Fe}_{12}\text{O}_{19}$  พบว่าค่าสภารถบลังแม่เหล็ก ในช่วง อุณหภูมิการเผาชินเตอร์ 1150°C ถึง 1250°C มีค่าใกล้เคียงกัน สัมพันธ์กับขนาดเกรนในรูปที่ 4.5(ก)-(ค) ซึ่งขนาดเกรนทั้งสามกรณีมีขนาดที่ไม่แตกต่างกันมาก แต่เมื่อเผาชินเตอร์ที่อุณหภูมิ 1300°C พบว่าขนาดเกรนในรูปที่ 4.5(ง) มีขนาดเพิ่มขึ้นอย่างมากเมื่อเทียบกับขนาดเกรนของอุณหภูมิการเผาที่ ต่ำกว่า สัมพันธ์กับค่าสภารถบลังแม่เหล็ก ที่ลดลงอย่างมากดังรูปที่ 5.5(ข) ค่าแมกนีโถเซ็นต์ตัว มีแนวโน้มเพิ่มขึ้นเมื่ออุณหภูมิการเผาชินเตอร์เพิ่มขึ้นจาก 1150°C ถึง 1200°C แต่จะมีค่าลดลงเมื่ออุณหภูมิการเผาชินเตอร์เพิ่มเป็น 1250°C และค่าแมกนีโถเซ็นต์จะเพิ่มขึ้นอีกครั้งเมื่ออุณหภูมิการเผาชินเตอร์เพิ่มเป็น 1300°C ส่วนค่าสภารถบลังแม่เหล็กคงค้างมีการเปลี่ยนแปลงไม่มาก ซึ่งอยู่ในช่วง 54 – 60 emu/g

การเปลี่ยนแปลงของลักษณะเกรนในรูปที่ 4.3(ง) และรูปที่ 4.4(ง) ซึ่งพบว่าที่อุณหภูมิการเผาชินเตอร์ เป็น 1300°C ลักษณะเกรนของ  $\text{SrFe}_{12}\text{O}_{19}$  จะมีความเป็นเหลี่ยมนูน แต่เมื่อเจือแคนทานัมที่ปริมาณ  $x = 0.2$  ลักษณะของเกรนจะมีความเป็นเหลี่ยมนูนลดลง เมื่อนำตัวอย่างทั้งสองมาศึกษาทางวิศวกรรมศาสตร์ จะได้ความสัมพันธ์ดังรูปที่ 5.6 ซึ่งแสดงการเปลี่ยนแปลงของวงชีสเทอร์ริซีสเมื่อเจือแคนทานัมลง ในส่วนบนเทียนเฟอร์ไรท์ในปริมาณ  $x = 0.2$  เมื่ออุณหภูมิการเผาชินเตอร์เป็น 1300°C พบว่า แคนทานัมที่เจือลงไปไม่ทำให้ค่าแมกนีโถเซ็นต์เปลี่ยนแปลง แต่จะทำให้ค่าสภารถบลังแม่เหล็ก และสภารถบลังแม่เหล็กคงค้างลดลง



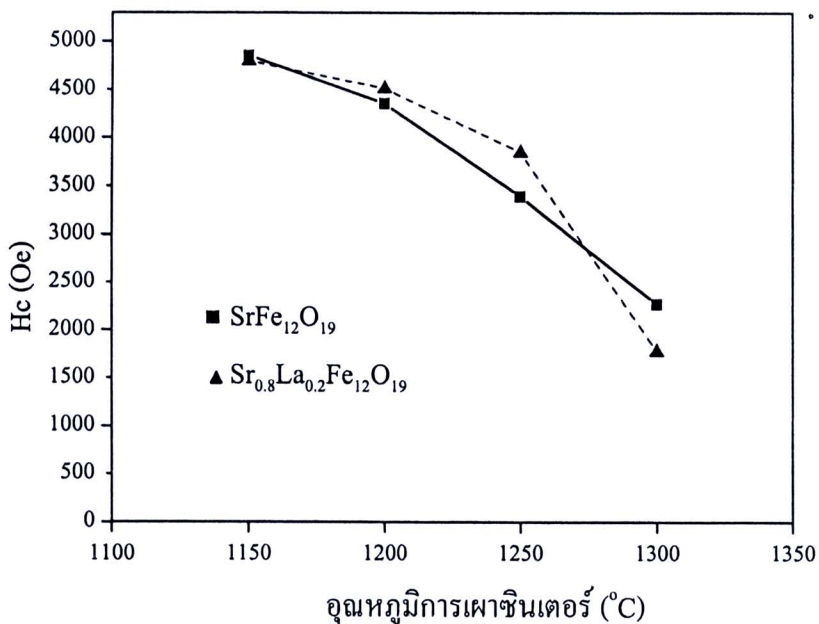
รูปที่ 5.6 วงชีสเทอร์ริซีสของ  $\text{SrFe}_{12}\text{O}_{19}$  และ  $\text{Sr}_{0.8}\text{La}_{0.2}\text{Fe}_{12}\text{O}_{19}$  เมื่ออุณหภูมิการเผาชินเตอร์ 1300°C เป็นเวลา 1 ชั่วโมง

ค่าสภาพแม่เหล็กที่ได้จากการวิเคราะห์จากเครื่องวัดสมบัติแม่เหล็กแบบตัวอย่างถั่น แสดงในตารางที่ 5.1 ซึ่งผลที่ได้จะแสดงค่า สภาพลับล้างแม่เหล็ก (Hc) แมกนีไตเซชันอิมตัว (Ms) และ สภาพแม่เหล็กคงค้าง (Mr)

**ตารางที่ 5.1 ค่าสภาพลับล้างแม่เหล็ก (Hc) สภาพแม่เหล็กคงค้าง (Mr) และค่าแมกนีไตเซชันอิมตัว (Ms) ของ  $\text{SrFe}_{12}\text{O}_{19}$  และ  $\text{Sr}_{0.8}\text{La}_{0.2}\text{Fe}_{12}\text{O}_{19}$  ที่อุณหภูมิการเผาชินเตอร์ 1150°C 1200°C 1250°C และ 1300°C**

ตัวอย่าง	สัญลักษณ์	อุณหภูมิชินเตอร์ (°C)	Hc (Oe)	Ms (emu/g)	Mr (emu/g)
$\text{SrFe}_{12}\text{O}_{19}$	SF1	1150	4850	89	55
	SF2	1200	4353	94	58
	SF3	1250	3393	98	59
	SF4	1300	2273	102	59
$\text{Sr}_{0.8}\text{La}_{0.2}\text{Fe}_{12}\text{O}_{19}$	SLF1	1150	4796	87	54
	SLF2	1200	4510	96	60
	SLF3	1250	3847	67	59
	SLF4	1300	1781	102	56

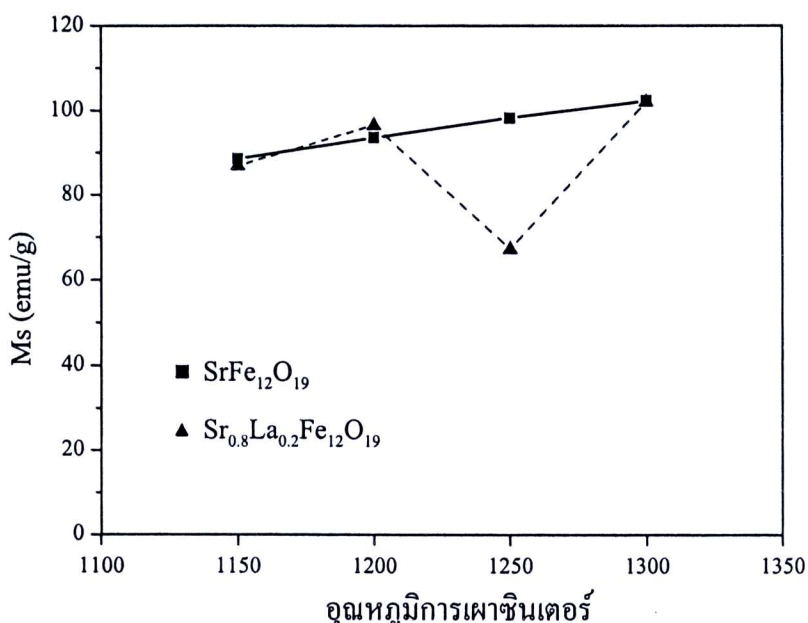
ค่าสภาพลับล่างแม่เหล็ก  $\text{SrFe}_{12}\text{O}_{19}$  และ  $\text{Sr}_{0.8}\text{La}_{0.2}\text{Fe}_{12}\text{O}_{19}$  ดังแสดงในรูปที่ 5.7 เมื่อเวลา 1 ชั่วโมง นิแนวโน้มลดลงเมื่ออุณหภูมิการเผาซินเตอร์เพิ่มมากขึ้นทั้งในกรณีของ  $\text{SrFe}_{12}\text{O}_{19}$  และ  $\text{Sr}_{0.8}\text{La}_{0.2}\text{Fe}_{12}\text{O}_{19}$  ดังแสดงในรูปที่ 5.7 เมื่อจากขนาดของเกรนมีความสัมพันธ์กับค่าสภาพลับล่างแม่เหล็ก ( $H_c$ ) ซึ่งเมื่อขนาดเกรนมีขนาดใหญ่ การเคลื่อนตัวของผังโคลเมนจะเกิดการเคลื่อนตัวได้ง่าย ทำให้แม่เหล็กหมดสภาพแม่เหล็กได้ง่าย ส่งผลให้ค่าสภาพลับล่างแม่เหล็ก ( $H_c$ ) มีค่าน้อย [12-13] จากรูปที่ 5.7 พบว่าค่าสภาพลับล่างแม่เหล็ก มีค่าสูงสุดเท่ากับ 4850 Oe เมื่อเผาซินเตอร์ที่อุณหภูมิ  $1150^\circ\text{C}$  เมื่อเปรียบเทียบค่าสภาพลับล่างแม่เหล็ก จากการศึกษาของ Puneet Sharma และคณะ [1] ซึ่งได้สังเคราะห์ศรอนเทียมเฟอร์ไรท์โดยกระบวนการทางเชรามิกเมื่อเผาซินเตอร์ที่อุณหภูมิ  $1200^\circ\text{C}$  ถึง  $1300^\circ\text{C}$  พบว่าค่าสภาพลับล่างแม่เหล็ก ( $H_c$ ) มีแนวโน้มลดลงเมื่ออุณหภูมิการเผาซินเตอร์สูงขึ้น และได้ค่าสูงสุด 2838 Oe ที่อุณหภูมิการเผาซินเตอร์  $1200^\circ\text{C}$  เมื่อเทียบกับงานวิจัยนี้ที่อุณหภูมิซินเตอร์เท่ากันคือ  $1200^\circ\text{C}$  พบว่าได้ค่าสภาพลับล่างแม่เหล็ก ( $H_c$ ) เท่ากับ 4353 Oe ซึ่งได้ค่าที่สูงกว่า



รูปที่ 5.7 ผลของค่าสภาพลับล่างแม่เหล็ก ( $H_c$ ) ของ  $\text{SrFe}_{12}\text{O}_{19}$  และ  $\text{Sr}_{0.8}\text{La}_{0.2}\text{Fe}_{12}\text{O}_{19}$  เมื่อเผาซินเตอร์ที่อุณหภูมิ  $1150^\circ\text{C}$   $1200^\circ\text{C}$   $1250^\circ\text{C}$  และ  $1300^\circ\text{C}$  เป็นเวลา 1 ชั่วโมง

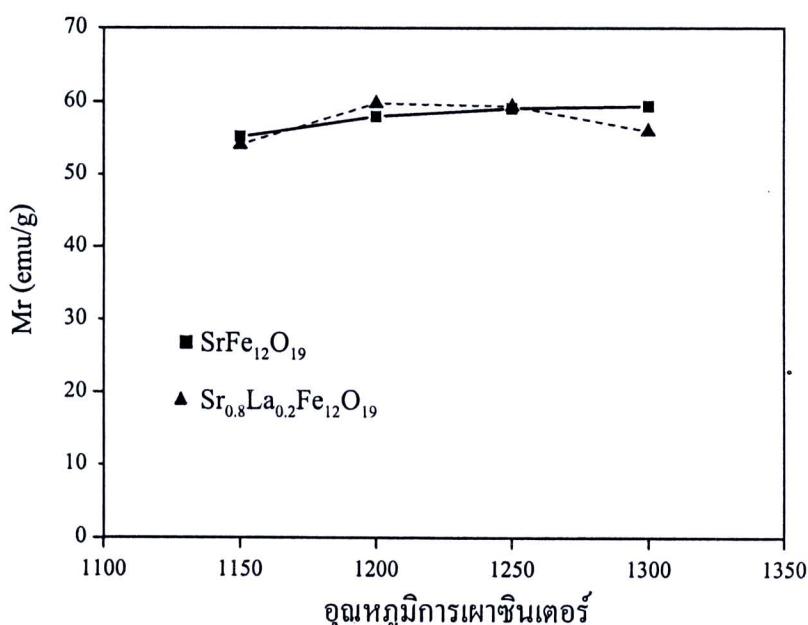
เมื่อพิจารณาค่าแมกเน่ໄตเซชันอิ่มตัวของ  $\text{SrFe}_{12}\text{O}_{19}$  มีแนวโน้มเพิ่มขึ้นเมื่ออุณหภูมิการเผาซินเตอร์เพิ่มขึ้นจาก  $1150^{\circ}\text{C}$  ถึง  $1300^{\circ}\text{C}$  เนื่องจากเมื่อพิจารณาผลของ XRD และเผาซินเตอร์ที่อุณหภูมิสูงขึ้นโครงสร้าง  $\text{Fe}_2\text{O}_3$  ซึ่งเป็นโครงสร้างแบบ antiferromagnetic จะลดลง และจะมีโครงสร้างเดียวกับขึ้นส่วนใหญ่ค่าแมกเน่ໄตเซชันอิ่มตัวมีค่าเพิ่มมากขึ้น ทำให้สมบัติความเป็นสภาพแม่เหล็กฟอร์ริแมกเนติกมากขึ้น สอดคล้องกับผลการวิจัยของ Y.P. Fu และคณะ [4] ซึ่งเตรียมสตอรอนเทียมเฟอร์ไรท์ด้วยวิธี Microwave-induced combustion เมื่อเผาที่อุณหภูมิตั้งแต่  $850^{\circ}\text{C} - 1050^{\circ}\text{C}$  พบว่าที่อุณหภูมิการเผาเพิ่มขึ้นจาก  $850^{\circ}\text{C} - 1050^{\circ}\text{C}$  ค่าแมกเน่ໄตเซชันอิ่มตัว ( $\text{Ms}$ ) มีแนวโน้มเพิ่มขึ้น ซึ่งสัมพันธ์กับโครงสร้าง  $\text{Fe}_2\text{O}_3$  ที่ลดลงตามอุณหภูมิการเผาที่สูงขึ้น

สำหรับค่าแมกเน่ໄตเซชันอิ่มตัวของ  $\text{Sr}_{0.8}\text{La}_{0.2}\text{Fe}_{12}\text{O}_{19}$  จะมีค่าเพิ่มขึ้นเมื่ออุณหภูมิในการเผาซินเตอร์เพิ่มขึ้นจาก  $1150^{\circ}\text{C}$  ถึง  $1200^{\circ}\text{C}$  แต่จะมีค่าลดลงอย่างมากเมื่ออุณหภูมิในการเผาซินเตอร์เป็น  $1250^{\circ}\text{C}$  เมื่ออุณหภูมิในการเผาซินเตอร์เพิ่มขึ้นเป็น  $1300^{\circ}\text{C}$  แมกเน่ໄตเซชันอิ่มตัวจะมีค่าเพิ่มขึ้นอีกครั้ง ในกรณีี้ยังไม่ทราบข้อมูลที่ชัดเจนเพื่อใช้อธิบายการลดลงของแมกเน่ໄตเซชันอิ่มตัวที่อุณหภูมิการเผาซินเตอร์  $1250^{\circ}\text{C}$  ซึ่งผลการทดลองนี้ไม่สอดคล้องกับงานวิจัยของ Xiansong Liu และคณะ [11] ซึ่งได้ศึกษาผลของการเจือ La ลงในสตอรอนเทียมเฟอร์ไรท์ตามสูตร  $\text{Sr}_{1-x}\text{La}_x\text{Fe}_{12}\text{O}_{19}$  เมื่อค่า  $x = 0$  ถึง  $1.0$  และเผาซินเตอร์ที่อุณหภูมิตั้งแต่  $1180^{\circ}\text{C} - 1300^{\circ}\text{C}$  พบว่าที่ปริมาณ  $x = 0.2$  และอุณหภูมิการเผาซินเตอร์เพิ่มขึ้นตั้งแต่  $1180^{\circ}\text{C} - 1300^{\circ}\text{C}$  ค่าแมกเน่ໄตเซชันอิ่มตัวมีแนวโน้มเพิ่มขึ้นเล็กน้อยตามอุณหภูมิการเผาที่เพิ่มขึ้น



รูปที่ 5.8 ผลของค่าแมกเน่ໄตเซชันอิ่มตัว ( $\text{Ms}$ ) ของ  $\text{SrFe}_{12}\text{O}_{19}$  และ  $\text{Sr}_{0.8}\text{La}_{0.2}\text{Fe}_{12}\text{O}_{19}$  เมื่อเผาซินเตอร์ที่อุณหภูมิ  $1150^{\circ}\text{C}$   $1200^{\circ}\text{C}$   $1250^{\circ}\text{C}$  และ  $1300^{\circ}\text{C}$

ค่าสภาพแม่เหล็กคงค้าง (Mr) ของ  $\text{SrFe}_{12}\text{O}_{19}$  มีแนวโน้มเพิ่มขึ้นตามอุณหภูมิการเผาซินเตอร์ที่สูงขึ้น แต่มีการเปลี่ยนแปลงไม่น่ากันดังแสดงในรูปที่ 5.9 ส่วนสภาพแม่เหล็กคงค้างของ  $\text{Sr}_{0.8}\text{La}_{0.2}\text{Fe}_{12}\text{O}_{19}$  จะมีแนวโน้มเพิ่มขึ้นเมื่ออุณหภูมิการเผาซินเตอร์เพิ่มขึ้นจาก  $1150^{\circ}\text{C}$  เป็น  $1200^{\circ}\text{C}$  แต่เมื่ออุณหภูมิการเผาซินเตอร์เพิ่มขึ้นมากกว่า  $1200^{\circ}\text{C}$  ค่าสภาพแม่เหล็กคงค้างมีแนวโน้มลดลงดังรูปที่ 5.9 เมื่อพิจารณา ค่าสภาพแม่เหล็กคงค้างของ  $\text{Sr}_{0.8}\text{La}_{0.2}\text{Fe}_{12}\text{O}_{19}$  ที่อุณหภูมิการเผาซินเตอร์  $1150^{\circ}\text{C}$  และ  $1250^{\circ}\text{C}$  มีค่า ใกล้เคียงกับค่าสภาพแม่เหล็กคงค้างของ  $\text{SrFe}_{12}\text{O}_{19}$  ที่อุณหภูมิการเผาเดียวกัน ซึ่งพบว่าค่าสภาพ แม่เหล็กคงค้างของ  $\text{SrFe}_{12}\text{O}_{19}$  และ  $\text{Sr}_{0.8}\text{La}_{0.2}\text{Fe}_{12}\text{O}_{19}$  เมื่อเผาซินเตอร์ระหว่าง  $1150^{\circ}\text{C}$  ถึง  $1300^{\circ}\text{C}$  จะได้ ค่าสภาพแม่เหล็กคงค้างอยู่ระหว่าง  $55 - 60 \text{ emu/g}$



รูปที่ 5.9 ผลของค่าสภาพแม่เหล็กคงค้าง (Mr) ของ  $\text{SrFe}_{12}\text{O}_{19}$  และ  $\text{Sr}_{0.8}\text{La}_{0.2}\text{Fe}_{12}\text{O}_{19}$  เมื่อเผาซินเตอร์ที่ อุณหภูมิ  $1150^{\circ}\text{C}$   $1200^{\circ}\text{C}$   $1250^{\circ}\text{C}$  และ  $1300^{\circ}\text{C}$  เป็นเวลา 1 ชั่วโมง

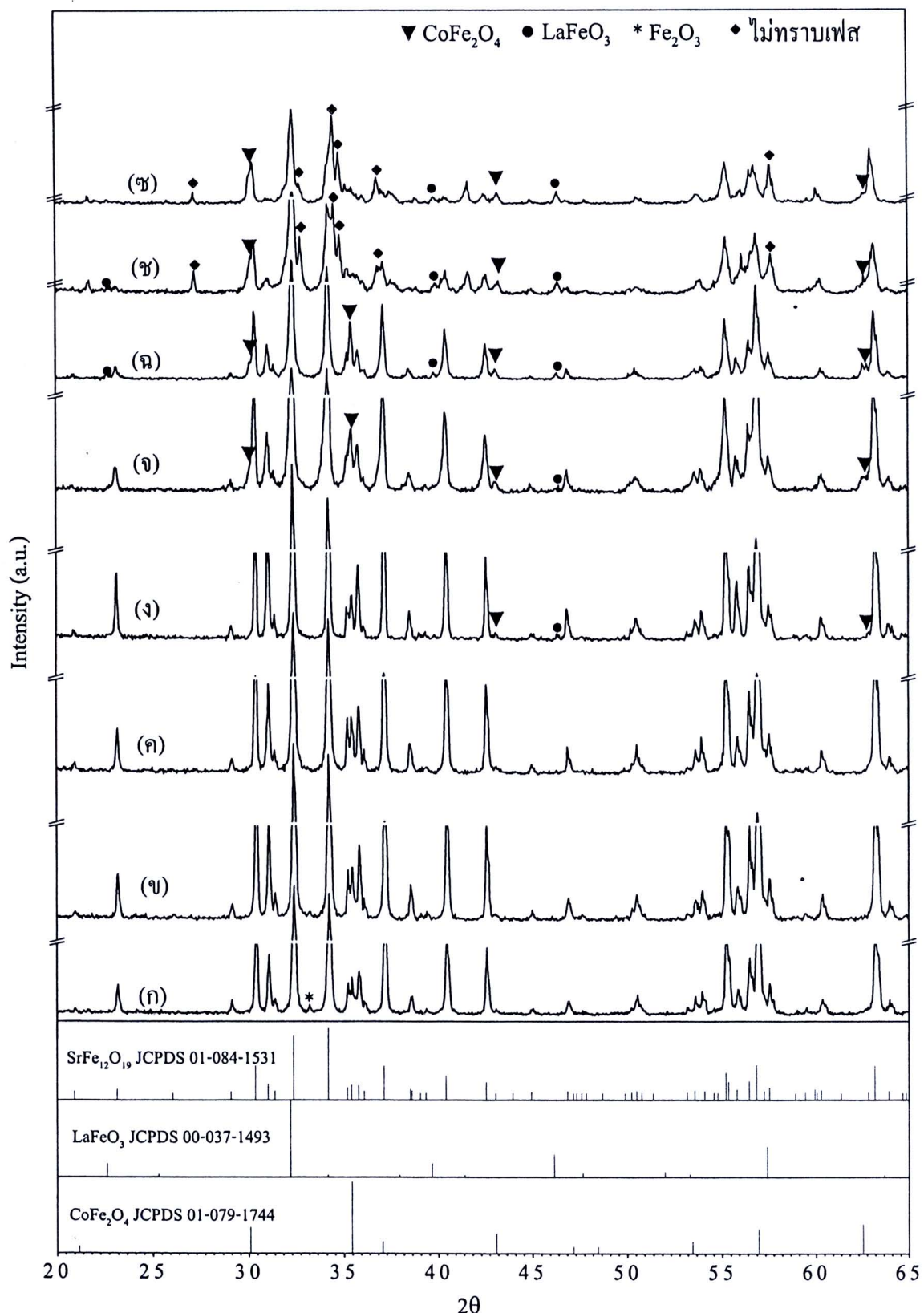
## 5.2 ผลของปริมาณการเจือແلنທານັ້ນແລະ ໂຄນອລຕໍ່ລົງໃນສຕຣອນເທີມເຟອຣີໄຣທ໌

ກາຣົວເຄຣະໜ້າຈະສຶກຍາພລຂອງປຣິມາຜາກເຈື້ອແລນທານັ້ນແລະ ໂຄນອລຕໍ່ຕາມສຸຕຣ  $Sr_{1-x}La_xFe_{12-y}Co_yO_{19}$ , ມີກາຣົວເຄຣະໜ້າຈະສຶກຍາພລຂອງປຣິມາຜາກເຈື້ອແລນທານັ້ນ  $x = 0.2$  ໂດຍທີ່ມີກາຣົວເຄຣະໜ້າຈະສຶກຍາພລຕໍ່  $y = 0.0, 0.1, 0.2, 0.3, 0.4, 0.5, 0.8$  ແລະ  $1.0$  ໃນກາຣົວເຄຣະໜ້າຈະສຶກຍາພລ ຈະໃຊ້ພລວິເຄຣະໜ້າຈາກ XRD ສຶກຍາໂຄຮງສຮ້າງ ກາຣົວເຄຣະໜ້າຈະສຶກຍາພລ ຈາກ SEM ແລະ ສຶກຍາສມບັດ ແມ່່ເໜີ້ກາຈາກເຄື່ອງວັດສມບັດແມ່່ເໜີ້ກແບນຕ້ວອຢ່າງສັ້ນ

### 5.2.1 ພລກາຣົວເຄຣະໜ້າກຳລັງເລື່ອວິເນນຂອງຮັງສີເອກຫຼືຂອງ $Sr_{0.8}La_{0.2}Fe_{12-y}Co_yO_{19}$

ພລກາຣົວເຄຣະໜ້າໂຄຮງສຮ້າງຂອງສຕຣອນເທີມເຟອຣີໄຣທ໌ທີ່ເຈື້ອແລນທານັ້ນແລະ ໂຄນອລຕໍ່ເມື່ອພາຊີນເຕອຣີທີ່ ອຸປນຫກນີ  $1250^{\circ}\text{C}$  ຕາມສຸຕຣ  $Sr_{0.8}La_{0.2}Fe_{12-y}Co_yO_{19}$  ຈາກຮູ່ປະກາດເລື່ອວິເນນຂອງຮັງສີເອກຫຼືໂດຍ  $x = 0.2$  ສ່ວນຄ່າ  $y = 0, 0.1, 0.2, 0.3, 0.4, 0.5, 0.8$  ແລະ  $1.0$  ຈາກຮູ່ປະກາດທີ່  $5.10$  ພບວ່າໂຄຮງສຮ້າງທີ່  $y = 0$  ປຶ້ງ  $0.5$  ຈະພບໂຄຮງສຮ້າງເປັນ  $SrFe_{12}O_{19}$ , ຜຶ້ງເປັນໂຄຮງສຮ້າງແບນເຫກະໂກນອລສອດຄລື້ອງກັບ JCPDS ມາຍເລຂ 01-084-1531 ແລະ ພບວ່າເມື່ອເຈື້ອໂຄນອລຕໍ່ລົງໄປໃນແລນທານັ້ນສຕຣອນເທີມເຟອຣີໄຣທ໌ ( $Sr_{0.8}La_{0.2}Fe_{12}O_{19}$ ) ໂຄຮງສຮ້າງຂອງ  $Fe_2O_3$  ຈະລດລົງ ເມື່ອເຈື້ອໂຄນອລຕໍ່ໃນປຣິມາ  $y = 0.1$  ແລະ  $0.2$  ຈະເກີດໂຄຮງສຮ້າງເດືອຍຂອງ  $SrFe_{12}O_{19}$ , ສອດຄລື້ອງກັບຮາຍງານວິຊຍຂອງ H. A. Elkady ແລະ ຄະ [14] ທີ່ພບວ່າປຣິມາໂຄນອລຕໍ່ທີ່ເພີ່ມຂຶ້ນມີຜລຕໍ່ກາລົດລົງຂອງໂຄຮງສຮ້າງ  $Fe_2O_3$

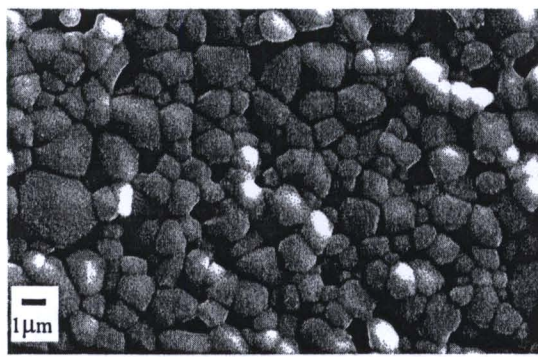
ເມື່ອເຈື້ອໂຄນອລຕໍ່ເພີ່ມຂຶ້ນເປັນ  $y = 0.3$  ພບວ່າຈະມີໂຄຮງສຮ້າງ  $CoFe_2O_4$  ແລະ  $LaFeO_3$ , ເກີດຂຶ້ນ ສອດຄລື້ອງກັບ JCPDS ມາຍເລຂ 01-079-1744 ແລະ 00-037-1493 ຕາມລຳດັບ ແລະ ເມື່ອປຣິມາໂຄນອລຕໍ່ເພີ່ມມາກຂຶ້ນ ຮະນາບຂອງໂຄຮງສຮ້າງທັງສອງກີ່ເພີ່ມມາກຂຶ້ນດ້ວຍດັງຮູ່ປະກາດທີ່  $5.10$  ເມື່ອເຈື້ອໂຄນອລຕໍ່ລົງໄປເປັນ  $0.8$  ແລະ  $1.0$  ພບເຟສທີ່ໄໝສາມາຄະນຸໂຄຮງສຮ້າງໄດ້ເກີດຂຶ້ນ



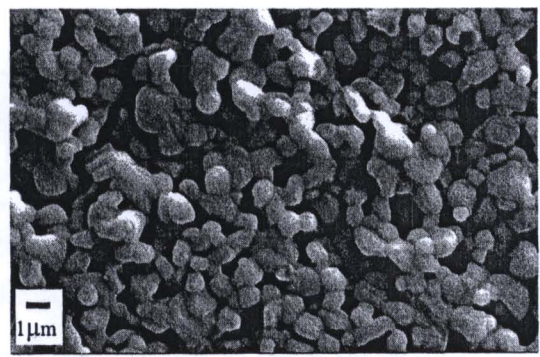
รูปที่ 5.10 ผลการวิเคราะห์โครงสร้างจากรูปแบบการเลี้ยวเบนของรังสีเอกซ์ของ  $\text{Sr}_{0.8}\text{La}_{0.2}\text{Fe}_{12-y}$   $\text{Co}_y\text{O}_{19}$  เมื่อเผาเซนเตอร์ที่อุณหภูมิ  $1250^\circ\text{C}$  เป็นเวลา 1 ชั่วโมง โดยจืดโคลบล็อกต์  $y$  เท่ากับ (ก) 0 (ข) 0.1 (ค) 0.2 (ง) 0.3 (จ) 0.4 (ฉ) 0.5 (ฉ) 0.8 และ (ช) 1.0

## 5.2.2 ผลการเจือແແນທານັມແລະ ໂຄນອລຕໍ່ລົງໃນສຕຣອນເທີຍມເຟອຣ໌ທີ່ມີຜລຕໍ່ລັກຢະບອງເກຣນ

ກາຮຽດລອງໃນຕອນນີ້ຈະສຶກຍາພລຂອງປຣິມາພາກເຈື້ອແແນທານັມແລະ ໂຄນອລຕໍ່ລົງໃນສຕຣອນເທີຍມເຟອຣ໌ໄຣທ໌ ( $Sr_{1-x}La_xFe_{12-y}Co_yO_{19}$ ) ທີ່ມີຜລຕໍ່ລັກຢະບອງເກຣນ ເມື່ອ  $x = 0.2$  ແລະ  $y = 0 \ 0.1 \ 0.2 \ 0.3 \ 0.4 \ 0.5 \ 0.8$  ແລະ  $1.0$  ເມື່ອພິຈາລະນາລັກຢະບອງເກຣນໃນກຣົມືຂອງ  $SrFe_{12}O_{19}$  ແລະ  $Sr_{0.8}La_{0.2}Fe_{12}O_{19}$  ໂດຍທີ່ເປັນສາທີ່ຍັງໄໝໄດ້ເຈື້ອ ໂຄນອລຕໍ່ຈາກງູປ່າທີ່ 5.11 ພົບວ່າທີ່ອຸນຫກຸມກາເພາຊີນເຕັກ  $1250^{\circ}\text{C}$  ເກຣນຂອງສຕຣອນເທີຍມເຟອຣ໌ໄຣທ໌  $SrFe_{12}O_{19}$  ມີນາດເລື່ອດັບລົງເມື່ອເຈື້ອແແນທານັມລົງໄປ  $x = 0.2$  ( $Sr_{0.8}La_{0.2}Fe_{12}O_{19}$ ) ສ່ວນໃນກຣົມືທີ່ເຈື້ອທັງແແນທານັມແລະ ໂຄນອລຕໍ່ແສດງໃນງູປ່າທີ່ 5.12



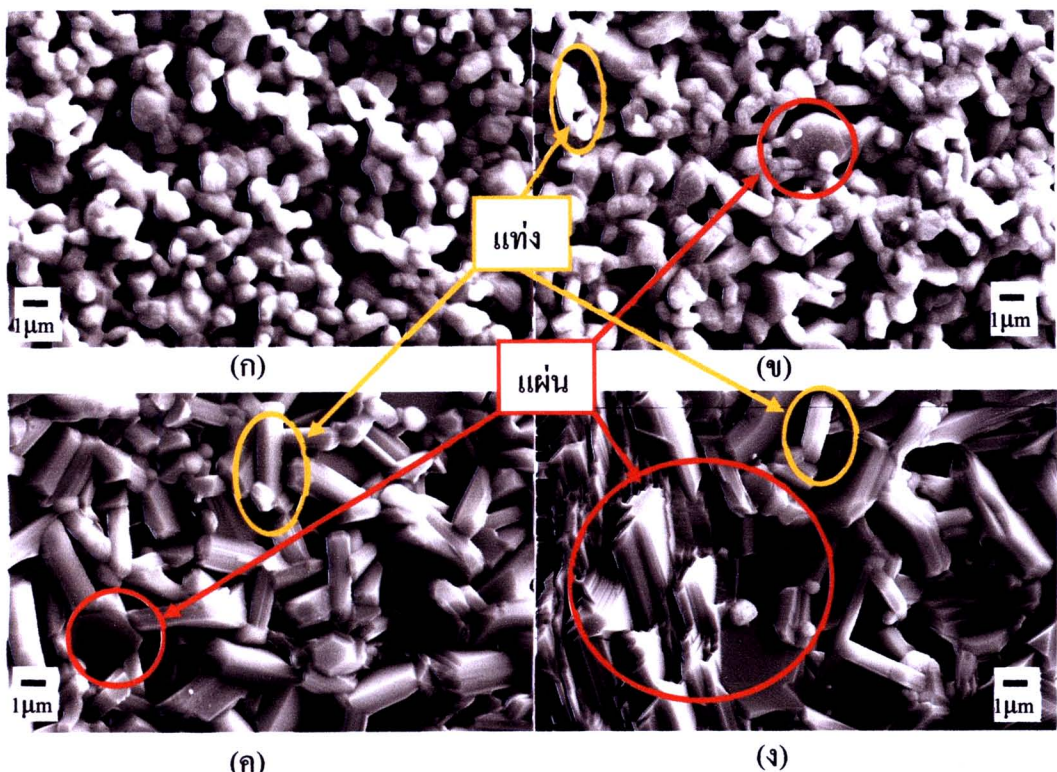
(ก)



(ງ)

ຮູບທີ່ 5.11 ກາພຄ່າຍຈາກກລ້ອງຈຸລທຣຄນ໊ອີເລື້ອຕຣອນແບບສ່ອງກຣາດເມື່ອເພາຊີນເຕັກທີ່ອຸນຫກຸມ  $1250^{\circ}\text{C}$  ເປັນເວລາ 1 ຊັ້ນໂນງ (ກ)  $SrFe_{12}O_{19}$  ແລະ (ງ)  $Sr_{0.8}La_{0.2}Fe_{12}O_{19}$

จากรูปที่ 5.12(ก) เป็นลักษณะกรนของ  $\text{Sr}_{0.8}\text{La}_{0.2}\text{Fe}_{12}\text{O}_{19}$  พบร่วมกันมีลักษณะเป็นเม็ดค่อนข้างกลม เมื่อเจือโคนอลลงไปปริมาณ  $y = 0.3$  ( $\text{Sr}_{0.8}\text{La}_{0.2}\text{Fe}_{11.7}\text{Co}_{0.3}\text{O}_{19}$ ) ลักษณะกรนที่พบมีลักษณะเป็นแท่งยาว เพิ่มมากขึ้น และลักษณะกรนส่วนหนึ่งที่เกิดขึ้นจะมีลักษณะเป็นแผ่นดังแสดงในรูปที่ 5.12(ข) เมื่อเจือปริมาณโคนอลต่อเพิ่มขึ้นเป็น  $y = 0.5$  ( $\text{Sr}_{0.8}\text{La}_{0.2}\text{Fe}_{11.5}\text{Co}_{0.5}\text{O}_{19}$ ) พบร่วมกันมีลักษณะเป็นแท่ง และเป็นแผ่นจะมีขนาดใหญ่ขึ้นดังรูปที่ 5.12(ค) เมื่อปริมาณโคนอลต่อที่เจือเพิ่มเป็น  $y = 1.0$  ( $\text{Sr}_{0.8}\text{La}_{0.2}\text{Fe}_{11}\text{CoO}_{19}$ ) พบร่วมกันมีลักษณะเป็นแผ่นจะมีปริมาณมากขึ้น และจะเกิดการเรื่อนติดกัน ดังรูปที่ 5.12(ง) ทำให้ขนาดกรนมีขนาดใหญ่ขึ้น ส่วนกรนที่มีลักษณะเป็นแท่งจะมีปริมาณลดลง นั่นแสดงให้เห็นว่าผลของการเจือโคนอลต่มีผลต่อรูปร่างและขนาดของกรนอย่างชัดเจน นั่นคือโคนอลต้มีผลต่อการขยายตัวของกรนอย่างชัดเจน



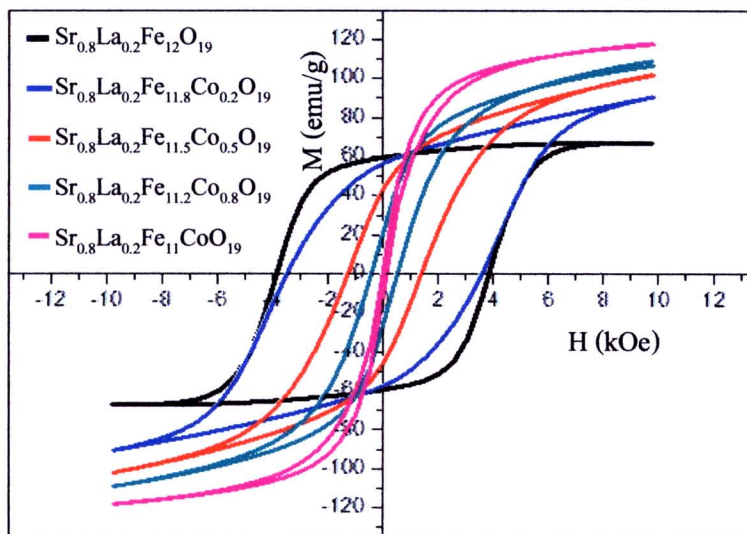
รูปที่ 5.12 ภาพถ่ายจากกล้องจุลทรรศน์อิเล็กตรอนแบบส่องการดูเมื่อเผาซินเตอร์ที่อุณหภูมิ  $1250^{\circ}\text{C}$

เป็นเวลา 1 ชั่วโมง เมื่อ (ก)  $\text{Sr}_{0.8}\text{La}_{0.2}\text{Fe}_{12}\text{O}_{19}$  (ข)  $\text{Sr}_{0.8}\text{La}_{0.2}\text{Fe}_{11.7}\text{Co}_{0.3}\text{O}_{19}$

(ค)  $\text{Sr}_{0.8}\text{La}_{0.2}\text{Fe}_{11.5}\text{Co}_{0.5}\text{O}_{19}$  และ (ง)  $\text{Sr}_{0.8}\text{La}_{0.2}\text{Fe}_{11}\text{CoO}_{19}$

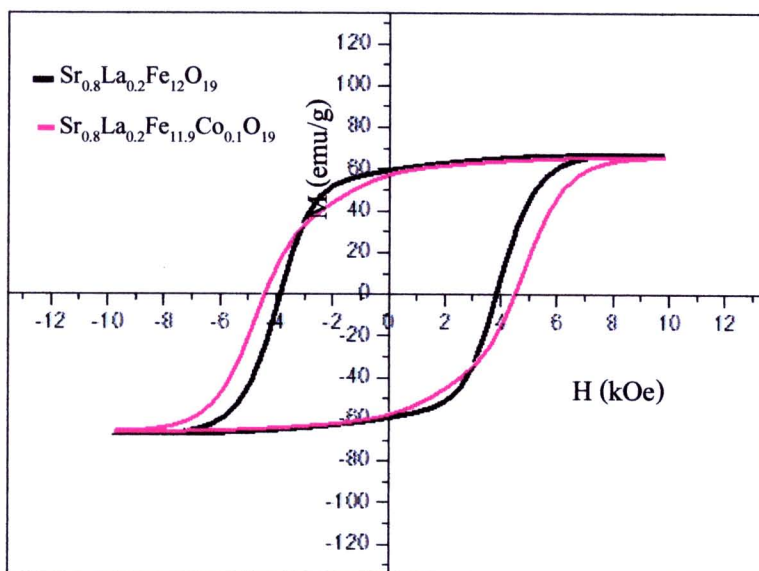
### 5.2.3 ผลการเจือແນທານັ້ນແລະໂຄບອລຕໍລົງໃນສຕຣອນເທີມເຟອຣີໄຣທ໌ທີ່ມີຜລຕໍ່ອສມນັດຖາງແມ່ເໜັກ

ວັງຊື່ສເທອຣີ໌ສຂອງສຕຣອນເທີມເຟອຣີໄຣທ໌ເຈື້ອແນທານັ້ນແລະ ໂຄບອລຕໍທີ່ອຸປນຫຼຸມການເພາະີນເຕູ້ຮ 1250°C ດັ່ງແສດງໃນຮູບປີ 5.13 ກຣົມທີ່ເຈື້ອແນທານັ້ນ ( $Sr_{0.8}La_{0.2}Fe_{12}O_{19}$ ) ພົບວ່າປຣິມາຜກເຈື້ອໂຄບອລຕໍ ແລະ ແນທານັ້ນມີຜລຕໍ່ອ່ານຸມການໄຕເໜັກນີ້ມີຄ່າໂຄບອລຕໍ ໂດຍຈາກຮູບປີ 5.13 ຈະເຫັນວ່າຄ່າແນກນີ້ໄຕເໜັກນີ້ມີຄ່າໂຄບອລຕໍ ແລະ ເວັນນີ້ທີ່ສູງຂຶ້ນຕາມການເພີ່ມປຣິມາຜກເຈື້ອໂຄບອລຕໍ ແລະ ຄ່າທີ່ໄດ້ຈະມີຄວາມແຕກຕ່າງກັນນາກ ສ່ວນຄ່າສພາພແໜ່ງເໜັກນີ້ແນວໂນັ້ນລດລອງເວັນນີ້ເພີ່ມປຣິມາຜກເຈື້ອໂຄບອລຕໍ ແລະ ມີຄ່າແຕກຕ່າງກັນນາກ ເຫັນກັນ ສໍາຫັນຄ່າສພາພລບລ້າງແມ່ເໜັກນີ້ ມີຄ່າໄຟ່ແຕກຕ່າງກັນນາກເວັນນີ້ເຈື້ອແນທານັ້ນໃນປຣິມາຜກທີ່ນີ້ອຍ ແຕ່ຈະມີຄ່າລດລອງເວັນນີ້ເພີ່ມປຣິມາຜກເຈື້ອໂຄບອລຕໍເພີ່ມມາກົ່ານີ້ ສອດຄລື້ອງກັນການໂຕຂຶ້ນຂອງຂະເງົນດັ່ງ ແສດງໃນຮູບປີ 4.8 ໂດຍການເຈື້ອໂຄບອລຕໍໃນປຣິມາຜກ  $y = 0.3$  ຂະເງົນຈະໂຕຂຶ້ນອ່າງນາກເວັນນີ້ເທິບກັນ ປຣິມາຜກເຈື້ອໂຄບອລຕໍ  $y = 0.2$



ຮູບປີ 5.13 ວັງຊື່ສເທອຣີ໌ສຂອງ  $Sr_{0.8}La_{0.2}Fe_{12-y}Co_yO_{19}$  ໂດຍທີ່  $y = 0.2 \ 0.5 \ 0.8$  ແລະ  $1.0$  ເວັນນີ້ເພາະີນເຕູ້ຮ 1250°C ເປັນເວລາ 1 ຂ້ວໂມງ

เมื่อพิจารณาความแตกต่างของแรงดึงของวัสดุที่มีสูตรของ  $\text{Sr}_{0.8}\text{La}_{0.2}\text{Fe}_{12}\text{O}_{19}$  และ  $\text{Sr}_{0.8}\text{La}_{0.2}\text{Fe}_{11.9}\text{Co}_{0.1}\text{O}_{19}$  ที่อุณหภูมิการเผาเซนเตอร์  $1250^{\circ}\text{C}$  แสดงในรูปที่ 5.14 จากรูปพบว่าเมื่อเจือโคบล็อกลงไปใน  $\text{Sr}_{0.8}\text{La}_{0.2}\text{Fe}_{12}\text{O}_{19}$  ในปริมาณ  $y = 0.1$  กราฟมีสภาพคล้ายแม่เหล็กมากขึ้น สรวนบริเวณของกราฟมีความเป็นเหลี่ยมนูนน้อยลง จากการวิจัยของ L. Lechevallier และคณะ [17] พบว่าปริมาณโคบล็อกที่เจือลงไปในสตอรอนเทียนเฟอร์ไรท์จะมีผลทำให้ขอบนูนของวัสดุที่มีความเป็นเหลี่ยมนูนลดลง โดยโคบล็อกจะไปช่วยทำให้พลังงานของผนังโคเมนลดลง ทำให้ผนังโคเมนเคลื่อนตัวได้ง่ายขึ้น



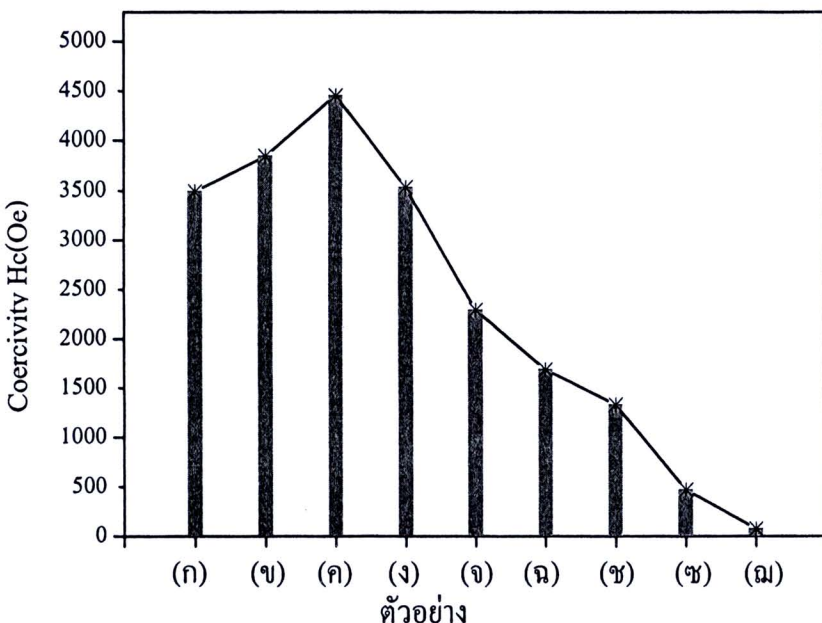
รูปที่ 5.14 วัสดุที่มีสูตรของ  $\text{Sr}_{0.8}\text{La}_{0.2}\text{Fe}_{12}\text{O}_{19}$  และ  $\text{Sr}_{0.8}\text{La}_{0.2}\text{Fe}_{11.9}\text{Co}_{0.1}\text{O}_{19}$  เมื่อเผาเซนเตอร์ที่อุณหภูมิ  $1250^{\circ}\text{C}$  เป็นเวลา 1 ชั่วโมง

วงซีสเทอร์ริซีสของ  $\text{Sr}_{0.8}\text{La}_{0.2}\text{Fe}_{12-y}\text{Co}_y\text{O}_{19}$  ที่เจือด้วยโคนอลต์ในสัดส่วน  $y = 0 \quad 0.1 \quad 0.2 \quad 0.3 \quad 0.4 \quad 0.5 \quad 0.8$  และ  $1.0$  เมื่อวิเคราะห์ด้วยเครื่องวัดสมบัติแม่เหล็กแบบตัวอย่างสั้น ค่าสมบัติแม่เหล็กที่วัดได้ประกอบด้วยค่าสภาพลับถังแม่เหล็ก สภาพแม่เหล็กคงท้าง (Remanence) และค่าแมกเน่โตเซชัน อิมตัว (Saturation magnetization) ดังแสดงในตารางที่ 5.2

ตารางที่ 5.2 ค่าสภาพลับถังแม่เหล็ก สภาพแม่เหล็กคงท้าง และค่าแมกเน่โตเซชันอิมตัวของ  $\text{Sr}_{0.8}\text{La}_{0.2}\text{Fe}_{12-y}\text{Co}_y\text{O}_{19}$  เจือแlenthanum และโคนอลต์เมื่ออุณหภูมิซินเตอร์เป็น  $1,250^\circ\text{C}$

ตัวอย่าง	x	y	สูตร	Hc (Oe)	Ms (emu/g)	Mr (emu/g)
SF3	0	0	$\text{SrFe}_{12}\text{O}_{19}$	3493	85	59
SLF3	0.2	0	$\text{Sr}_{0.8}\text{La}_{0.2}\text{Fe}_{12}\text{O}_{19}$	3847	67	59
SLCF3-01	0.2	0.1	$\text{Sr}_{0.8}\text{La}_{0.2}\text{Fe}_{11.9}\text{Co}_{0.1}\text{O}_{19}$	4452	66	58
SLCF3-02	0.2	0.2	$\text{Sr}_{0.8}\text{La}_{0.2}\text{Fe}_{11.8}\text{Co}_{0.2}\text{O}_{19}$	3535	91	57
SLCF3-03	0.2	0.3	$\text{Sr}_{0.8}\text{La}_{0.2}\text{Fe}_{11.7}\text{Co}_{0.3}\text{O}_{19}$	2293	89	50
SLCF3-04	0.2	0.4	$\text{Sr}_{0.8}\text{La}_{0.2}\text{Fe}_{11.6}\text{Co}_{0.4}\text{O}_{19}$	1690	97	48
SLCF3-05	0.2	0.5	$\text{Sr}_{0.8}\text{La}_{0.2}\text{Fe}_{11.5}\text{Co}_{0.5}\text{O}_{19}$	1332	102	45
SLCF3-08	0.2	0.8	$\text{Sr}_{0.8}\text{La}_{0.2}\text{Fe}_{11.2}\text{Co}_{0.8}\text{O}_{19}$	471	109	23
SLCF3-10	0.2	1.0	$\text{Sr}_{0.8}\text{La}_{0.2}\text{Fe}_{11}\text{CoO}_{19}$	73	118	6

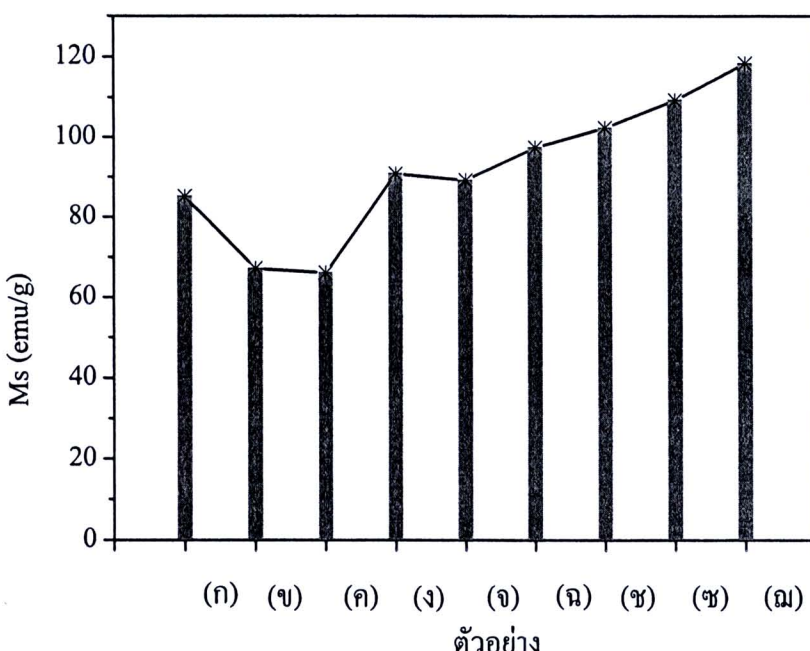
จากผลการทดลองพบว่าค่าสภาพลับล้างแม่เหล็ก ( $H_c$ ) ของตัวอย่างเมื่ออุณหภูมิการเผาชินเตอร์เป็น  $1250^{\circ}\text{C}$  ดังแสดงในรูปที่ 5.15 เมื่อส่วนประกอบ Fe ลดลง ( $\text{Sr}_{0.8}\text{La}_{0.2}\text{Fe}_{12}\text{O}_{19}$ ) ค่าสภาพลับล้างแม่เหล็ก จะมีค่าสูงขึ้น และจะมีค่ามากขึ้นเมื่อเจือโคบอลต์เพิ่มลงไปในปริมาณ  $y = 0.1$  ( $\text{Sr}_{0.8}\text{La}_{0.2}\text{Fe}_{11.9}\text{Co}_{0.1}\text{O}_{19}$ ) แต่เมื่อเจือโคบอลต์เพิ่มขึ้น  $y > 0.2$  เป็นต้นไป ค่าสภาพลับล้างแม่เหล็ก มีแนวโน้มลดลงตามปริมาณการเจือโคบอลต์ที่เพิ่มขึ้น ซึ่งสัมพันธ์กับขนาดของกรานที่ใหญ่ขึ้นเมื่อเจือโคบอลต์เพิ่มมากขึ้นดังได้อธิบายในหัวข้อ 5.2.3 ผลที่ได้สอดคล้องกับงานวิจัยของ Xiangsong Liu และคณะ [11] ที่ได้ศึกษาผลของการเจือ La และ Co ลงในส่วนประกอบ Fe โดยใช้กระบวนการทางเซรามิก เมื่อเผาชินเตอร์ตั้งแต่อุณหภูมิ  $1200 - 1300^{\circ}\text{C}$  เป็นไปตามสูตร  $\text{Sr}_x\text{La}_x\text{Fe}_{12-x}\text{Co}_x\text{O}_{19}$  เมื่อ  $x = 0$  ถึง  $0.25$  พบว่าค่าสภาพลับล้างแม่เหล็ก จะมีค่าลดลงเมื่อปริมาณการเจือโคบอลต์สูงขึ้น เมื่อเปรียบเทียบค่าสภาพลับล้างแม่เหล็ก ที่ Xiangsong Liu และคณะทำได้คือ  $5043 \text{ Oe}$  ส่วนในงานวิจัยนี้ทำได้สูงสุด  $4452 \text{ Oe}$  ซึ่งได้ค่าที่ต่ำกว่า



รูปที่ 5.15 ผลของค่าสภาพลับล้างแม่เหล็ก ( $H_c$ ) ของตัวอย่างเมื่อเผาชินเตอร์ที่อุณหภูมิ  $1250^{\circ}\text{C}$

- (ก)  $\text{SrFe}_{12}\text{O}_{19}$
- (ข)  $\text{Sr}_{0.8}\text{La}_{0.2}\text{Fe}_{12}\text{O}_{19}$
- (ค)  $\text{Sr}_{0.8}\text{La}_{0.2}\text{Fe}_{11.9}\text{Co}_{0.1}\text{O}_{19}$
- (ง)  $\text{Sr}_{0.8}\text{La}_{0.2}\text{Fe}_{11.8}\text{Co}_{0.2}\text{O}_{19}$
- (จ)  $\text{Sr}_{0.8}\text{La}_{0.2}\text{Fe}_{11.7}\text{Co}_{0.3}\text{O}_{19}$
- (ฉ)  $\text{Sr}_{0.8}\text{La}_{0.2}\text{Fe}_{11.6}\text{Co}_{0.4}\text{O}_{19}$
- (ช)  $\text{Sr}_{0.8}\text{La}_{0.2}\text{Fe}_{11.5}\text{Co}_{0.5}\text{O}_{19}$
- (舛)  $\text{Sr}_{0.8}\text{La}_{0.2}\text{Fe}_{11.2}\text{Co}_{0.8}\text{O}_{19}$  และ (舛)  $\text{Sr}_{0.8}\text{La}_{0.2}\text{Fe}_{11}\text{CoO}_{19}$

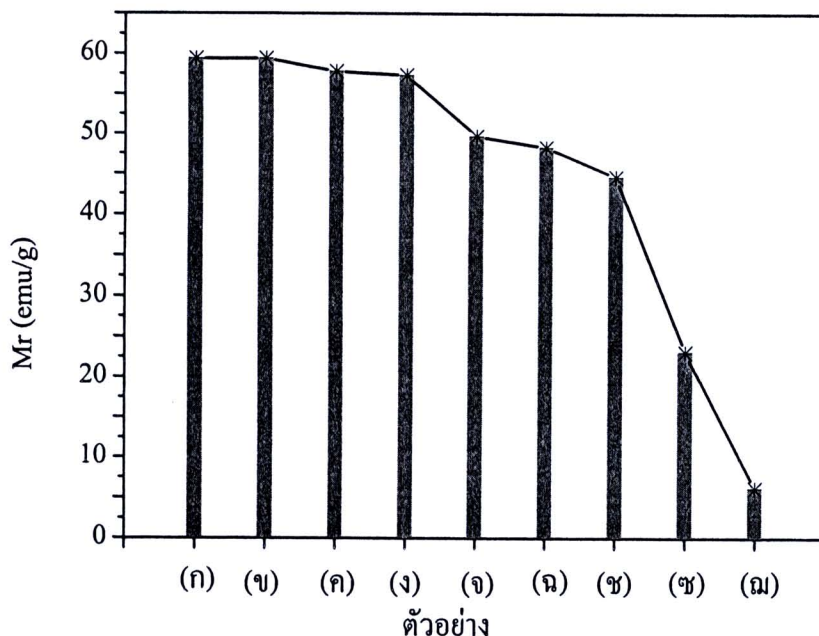
สารแม่เหล็กสตอรอนเทียมเฟอร์ไรท์ ( $\text{SrFe}_{12}\text{O}_{19}$ ) เมื่อเผาชินเตอร์ที่อุณหภูมิ  $1250^\circ\text{C}$  โดยที่เจือแlen ทานัม ( $\text{Sr}_{0.8}\text{La}_{0.2}\text{Fe}_{12}\text{O}_{19}$ ) และโอบอลต์ลงไป  $y = 0.1$  ( $\text{Sr}_{0.8}\text{La}_{0.2}\text{Fe}_{11.9}\text{Co}_{0.1}\text{O}_{19}$ ) ดังแสดงในรูปที่ 5.16 พบว่าค่าสภาคามแม่เหล็กอิ่มตัวมีค่าอย่าง เนื่องจากในการเจือโอบอลต์  $\text{Co}^{2+}$  จะเข้าไปแทนที่  $\text{Fe}^{3+}$  ในตำแหน่ง 2a ซึ่งเป็นรายงานการวิจัยของ H.A. Elkady และคณะ [14] E. WU และคณะ [15] S.W. Lee และคณะ [16] และ L. Lechevallier และคณะ [17] ได้ทำการศึกษาตำแหน่งของเหล็กที่ถูกแทนที่ด้วย โอบอลต์ด้วย Mössbauer เมื่อเจือโอบอลต์ในปริมาณ  $y = 0.1$  ซึ่งเป็นปริมาณที่ยังน้อยจึงไม่ส่งผลให้ แมกเน่โตเซชันอิ่มตัวเปลี่ยนแปลงไม่มากนัก แต่โอบอลต์ที่เจ้อจะไปมีผลต่อรูปร่างของแมกเนติก ซึ่ง ส่งผลให้รูปร่างของแมกเนติกเปลี่ยนไปเป็นรูปหัวใจ สำหรับ  $y = 0.2$  เป็นต้นไป ค่าสภาคามแม่เหล็กอิ่มตัวมีแนวโน้มสูงขึ้นตามปริมาณ โอบอลต์ที่เพิ่มมากขึ้น เนื่องจากในปริมาณ การเจือโอบอลต์สูงจะเกิดเฟส  $\text{CoFe}_2\text{O}_3$  ขึ้น ซึ่งโครงสร้างนี้มีสภาคามแม่เหล็กเป็นแบบเฟอร์ริแมกнетิก [9] ทำให้สารมีสภาคามแม่เหล็กมากขึ้น เมื่อเปรียบเทียบกับงานวิจัยของ Xiangsong Liu และคณะ [9] และ S. W. Lee และคณะ [16] ที่ได้ศึกษาผลของการเจือ La และ Co ลงในสตอรอนเทียมเฟอร์ไรท์ตาม สูตร  $\text{Sr}_{1-x}\text{La}_x\text{Fe}_{12-x}\text{Co}_x\text{O}_{19}$  พบว่าค่าแมกเน่โตเซชันอิ่มตัวมีค่าเพิ่มขึ้นเมื่อเจือแlen ทานัมและ โอบอลต์ ตั้งแต่  $x = 0$  ถึง 0.25 และมีค่าลดลงเมื่อปริมาณแlen ทานัมและ โอบอลต์เพิ่มมากขึ้น โดย Xiangsong Liu และคณะ ได้ค่าแมกเน่โตเซชันอิ่มตัวสูงสุด 73 emu/g ส่วนในงานวิจัยนี้ได้ค่าแมกเน่โตเซชัน อิ่มตัวสูงสุด 108 emu/g ซึ่งได้ค่าสูงกว่า



รูปที่ 5.16 ผลของค่าแมกเน่โตเซชันอิ่มตัว (Ms) ของตัวอย่างเมื่อเผาชินเตอร์ที่อุณหภูมิ  $1250^\circ\text{C}$

- (ก)  $\text{SrFe}_{12}\text{O}_{19}$
- (ข)  $\text{Sr}_{0.8}\text{La}_{0.2}\text{Fe}_{12}\text{O}_{19}$
- (ค)  $\text{Sr}_{0.8}\text{La}_{0.2}\text{Fe}_{11.9}\text{Co}_{0.1}\text{O}_{19}$
- (ง)  $\text{Sr}_{0.8}\text{La}_{0.2}\text{Fe}_{11.8}\text{Co}_{0.2}\text{O}_{19}$
- (จ)  $\text{Sr}_{0.8}\text{La}_{0.2}\text{Fe}_{11.7}\text{Co}_{0.3}\text{O}_{19}$
- (ฉ)  $\text{Sr}_{0.8}\text{La}_{0.2}\text{Fe}_{11.6}\text{Co}_{0.4}\text{O}_{19}$
- (ช)  $\text{Sr}_{0.8}\text{La}_{0.2}\text{Fe}_{11.5}\text{Co}_{0.5}\text{O}_{19}$
- (ฉ)  $\text{Sr}_{0.8}\text{La}_{0.2}\text{Fe}_{11.2}\text{Co}_{0.8}\text{O}_{19}$
- และ (ณ)  $\text{Sr}_{0.8}\text{La}_{0.2}\text{Fe}_{11}\text{CoO}_{19}$

ค่าสภาคแม่เหล็กคงค้างของสารแม่เหล็กสตรอนเทียมเฟอร์ไรท์ ( $\text{SrFe}_{12}\text{O}_{19}$ ) จากรูปที่ 5.17 ที่อุณหภูมิการเผาชินเตอร์ 1250°C พบว่ามีแนวโน้มคงที่ เมื่อเจือแlenan หานัมกับโคบอลต์  $y \leq 0.2$  ถ้าเจือโคบอลต์เพิ่มมากขึ้น ( $y > 0.2$ ) สภาคแม่เหล็กคงค้างมีแนวโน้มลดลงตามปริมาณ โคบอลต์ที่เพิ่มมากขึ้น เนื่องจากโคบอลต์ที่เจือลงไปจะไปทำให้จุดขัดของน้ำอย่าง ทำให้พลังงานในการเคลื่อนที่ของผนังไดเมนเดลลง ส่งผลให้ผนังโคลเมนเคลื่อนตัวได้ง่าย



รูปที่ 5.17 ผลของสภาคแม่เหล็กคงค้าง (Mr) ของตัวอย่างเมื่อเผาชินเตอร์ที่อุณหภูมิ 1250°C

- |  |  |  |
|--|--|--|
| (ก) $\text{SrFe}_{12}\text{O}_{19}$  | (ข) $\text{Sr}_{0.8}\text{La}_{0.2}\text{Fe}_{12}\text{O}_{19}$                  | (ค) $\text{Sr}_{0.8}\text{La}_{0.2}\text{Fe}_{11.9}\text{Co}_{0.1}\text{O}_{19}$ |
| (ง) $\text{Sr}_{0.8}\text{La}_{0.2}\text{Fe}_{11.8}\text{Co}_{0.2}\text{O}_{19}$ | (จ) $\text{Sr}_{0.8}\text{La}_{0.2}\text{Fe}_{11.7}\text{Co}_{0.3}\text{O}_{19}$ | (ฉ) $\text{Sr}_{0.8}\text{La}_{0.2}\text{Fe}_{11.6}\text{Co}_{0.4}\text{O}_{19}$ |
| (ช) $\text{Sr}_{0.8}\text{La}_{0.2}\text{Fe}_{11.5}\text{Co}_{0.5}\text{O}_{19}$ | (ฉ) $\text{Sr}_{0.8}\text{La}_{0.2}\text{Fe}_{11.2}\text{Co}_{0.8}\text{O}_{19}$ | และ (ณ) $\text{Sr}_{0.8}\text{La}_{0.2}\text{Fe}_{11}\text{CoO}_{19}$            |



## 5.3 ผลของอุณหภูมิการเผาซินเตอร์ของสารสตอรอนเทียมเฟอร์ไรท์ที่เจือแلن ทานมและโคงอลต์

การวิเคราะห์อิทธิพลของอุณหภูมิการเผาซินเตอร์ของสารสตอรอนเทียมเฟอร์ไรท์ที่เจือแلنทานมและโคงอลต์ของ  $\text{Sr}_{0.8}\text{La}_{0.2}\text{Fe}_{11.8}\text{Co}_{0.2}\text{O}_{19}$ ,  $\text{Sr}_{0.8}\text{La}_{0.2}\text{Fe}_{11.5}\text{Co}_{0.5}\text{O}_{19}$ , และ  $\text{Sr}_{0.8}\text{La}_{0.2}\text{Fe}_{11}\text{CoO}_{19}$  ในการศึกษาจะใช้ XRD วิเคราะห์หาโครงสร้างผลึก สำหรับการวิเคราะห์ขนาดเกรนจากภาพถ่ายจาก SEM และศึกษาสมบัติความเป็นแม่เหล็กด้วยเครื่องวัดสมบัติแม่เหล็กแบบตัวอย่างตั้งแต่นั้น

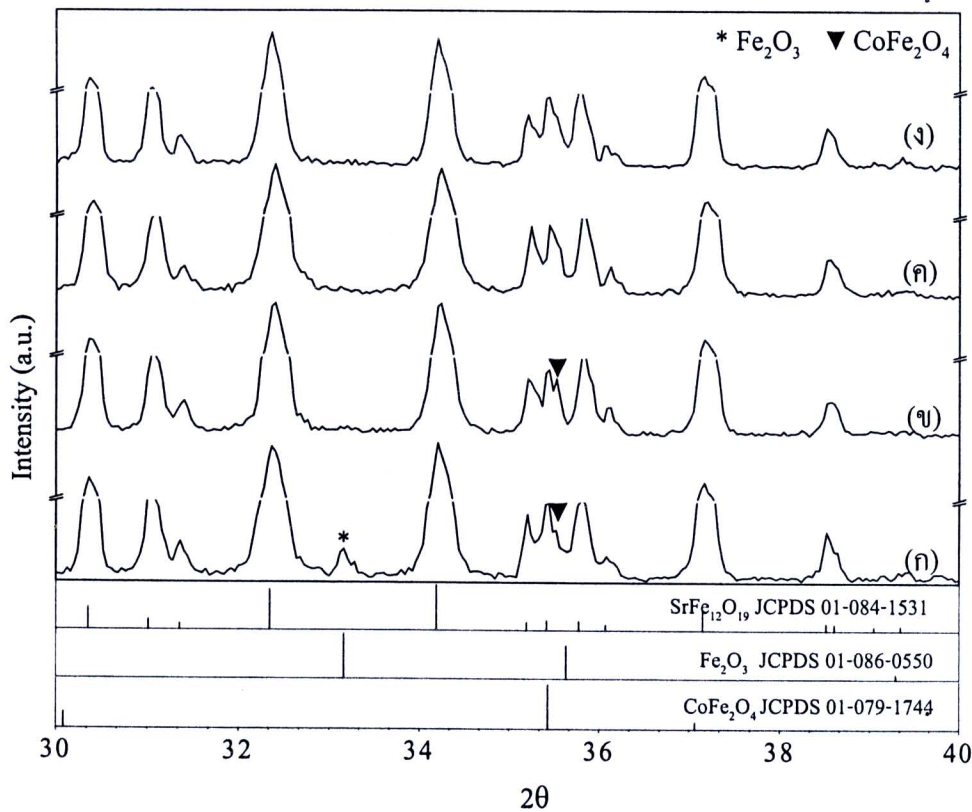
### 5.3.1 ผลการวิเคราะห์การเลี้ยวเบนของรังสีเอกซ์ที่อุณหภูมิการเผาซินเตอร์ของ



ในหัวข้อนี้ใช้การเลี้ยวเบนของรังสีเอกซ์ เพื่อวิเคราะห์โครงสร้างของสารที่ผลิตขึ้นว่ามีโครงสร้างเป็นอย่างไร เมื่ออุณหภูมิการเผาซินเตอร์เพิ่มขึ้นจาก  $1150^{\circ}\text{C}$  ถึง  $1300^{\circ}\text{C}$

#### 5.3.1.1 ผลการวิเคราะห์การเลี้ยวเบนของรังสีเอกซ์ของ $\text{Sr}_{0.8}\text{La}_{0.2}\text{Fe}_{11.8}\text{Co}_{0.2}\text{O}_{19}$ เมื่ออุณหภูมิการเผาซินเตอร์ต่างกัน

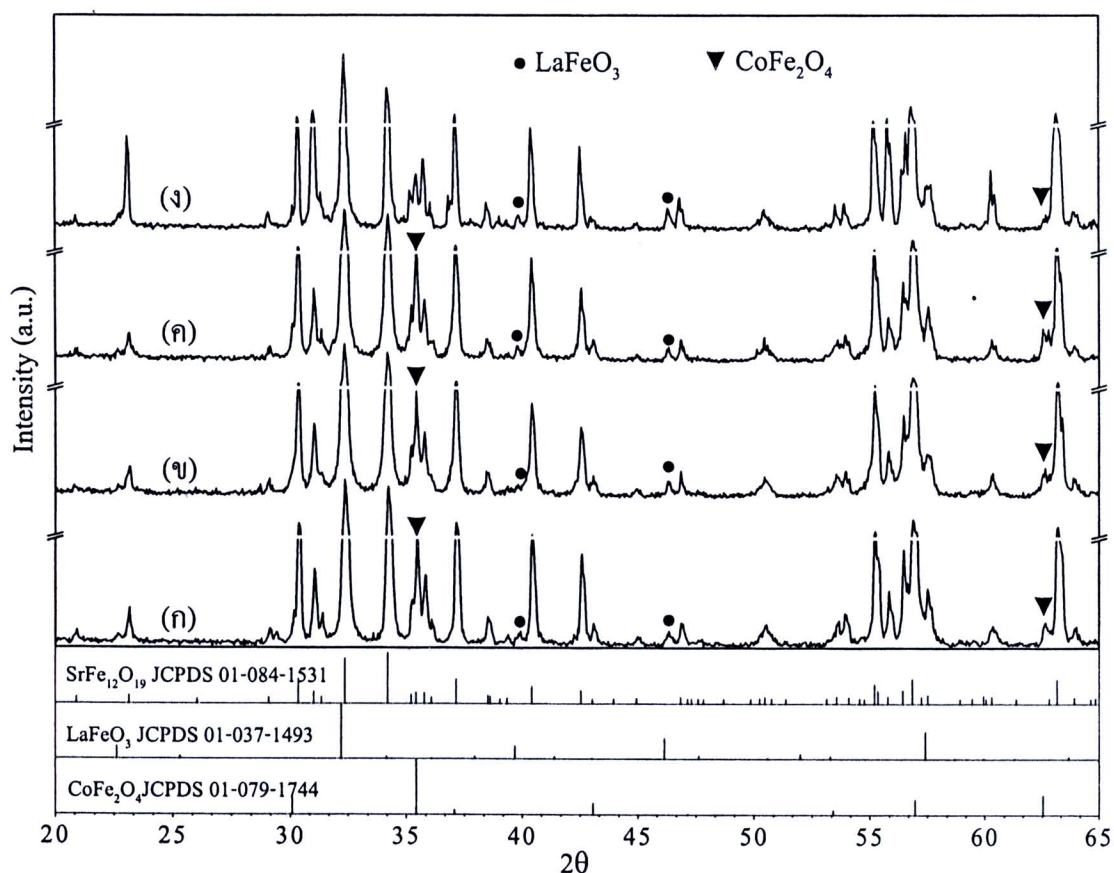
จากการวิเคราะห์โครงสร้างจากผลของการเจือแلنทานมและโคงอลต์ในหัวข้อก่อนหน้านี้ พบว่าเกิดโครงสร้างอื่นเกิดขึ้นนอกเหนือจากโครงสร้าง  $\text{SrFe}_{12}\text{O}_{19}$  ดังนั้นในการวิเคราะห์ในหัวข้อนี้ต้องการศึกษาผลของอุณหภูมิที่มีผลต่อการเกิดโครงสร้างอื่นในกรณีที่เจือแلنทานมและโคงอลต์ตามสูตร  $\text{Sr}_{0.8}\text{La}_{0.2}\text{Fe}_{11.8}\text{Co}_{0.2}\text{O}_{19}$  ( $x = 0.2$  และ  $y = 0.2$ ) ดังรูปที่ 5.18 พบร่วมกับอุณหภูมิการเผาซินเตอร์ที่  $1150^{\circ}\text{C}$  มีโครงสร้าง  $\text{Fe}_2\text{O}_3$  และ  $\text{CoFe}_2\text{O}_4$  เมื่ออุณหภูมิการเผาซินเตอร์เพิ่มเป็น  $1200^{\circ}\text{C}$  ของโครงสร้าง  $\text{Fe}_2\text{O}_3$  จะหายไป ส่วนโครงสร้างของ  $\text{CoFe}_2\text{O}_4$  ยังคงเหลืออยู่ แต่เมื่ออุณหภูมิการเผาเพิ่มเป็น  $1250^{\circ}\text{C}$  และ  $1300^{\circ}\text{C}$  จะพบร่องรอยของ  $\text{SrFe}_{12}\text{O}_{19}$  เพียงโครงสร้างเดียว



รูปที่ 5.18 ผลการวิเคราะห์โครงสร้างจากรูปแบบการเลี้ยวเบนของรังสีเอกซ์ของ  $\text{Sr}_{0.8}\text{La}_{0.2}\text{Fe}_{11.8}\text{Co}_{0.2}\text{O}_{19}$  เมื่อเผาชินเตอร์ที่อุณหภูมิ (ก)  $1150^\circ\text{C}$  (ข)  $1200^\circ\text{C}$  (ค)  $1250^\circ\text{C}$  และ (ง)  $1300^\circ\text{C}$  เป็นเวลา 1 ชั่วโมง

### 5.3.1.2 ผลการวิเคราะห์การเลี้ยวเบนของรังสีเอกซ์ของ $\text{Sr}_{0.8}\text{La}_{0.2}\text{Fe}_{11.5}\text{Co}_{0.5}\text{O}_{19}$ เมื่ออุณหภูมิการเผาชินเตอร์ต่างกัน

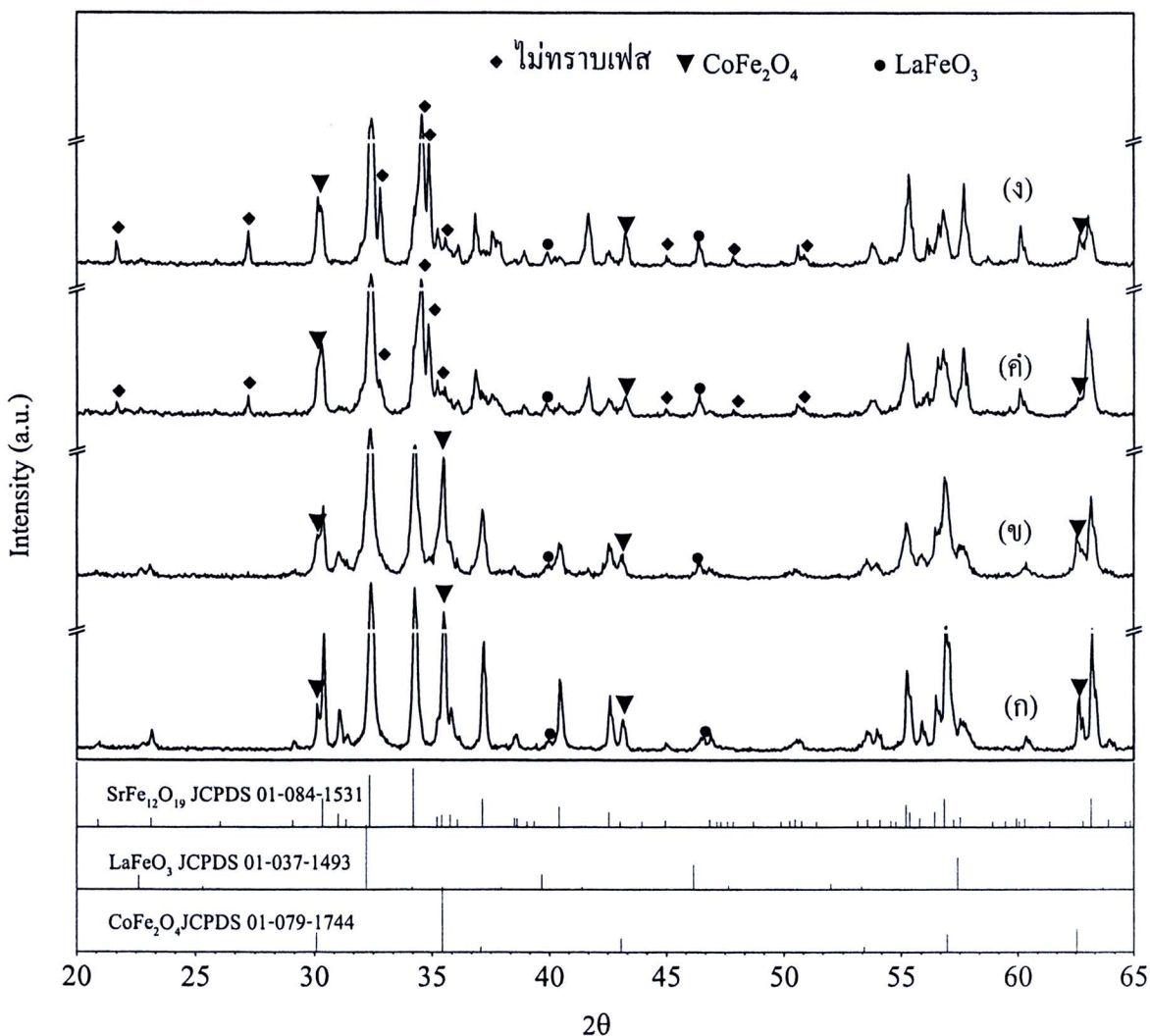
ในส่วนการวิเคราะห์รูปแบบการเลี้ยวเบนของรังสีเอกซ์ของสตอรอนเที่ยมเฟอร์ไรท์ที่เจือเด่นทานั้น และโอบอลต์ตามสูตร  $\text{Sr}_{0.8}\text{La}_{0.2}\text{Fe}_{11.5}\text{Co}_{0.5}\text{O}_{19}$  ( $x = 0.2$  และ  $y = 0.5$ ) เมื่ออุณหภูมิการเผาชินเตอร์ต่างกันดังแสดงในรูปที่ 5.19 พบว่าโครงสร้างหลักจะเป็นโครงสร้างของ  $\text{SrFe}_{12}\text{O}_{19}$  และจะเกิดโครงสร้าง  $\text{LaFeO}_3$  และ  $\text{CoFe}_2\text{O}_4$  เกิดขึ้นตั้งแต่อุณหภูมิการเผาชินเตอร์ที่  $1150^\circ\text{C}$  เมื่ออุณหภูมิการเผาชินเตอร์สูงขึ้นเพื่อของ  $\text{CoFe}_2\text{O}_4$  จะลดลง และพบว่าเมื่อเผาชินเตอร์ที่อุณหภูมิ  $1300^\circ\text{C}$  ทั้ง  $\text{LaFeO}_3$  และ  $\text{CoFe}_2\text{O}_4$  ยังคงมีโครงสร้างนี้เหลืออยู่เนื่องจากในสารไม่มีความสมดุลของประจุจึงเกิดโครงสร้างอื่นขึ้น



รูปที่ 5.19 ผลการวิเคราะห์โครงสร้างจากรูปแบบการเลี้ยวเบนของรังสีเอกซ์ของ  $\text{Sr}_{0.8}\text{La}_{0.2}\text{Fe}_{11.5}\text{Co}_{0.5}\text{O}_{19}$  เมื่อเผาชินเตอร์ที่อุณหภูมิ (ก)  $1150^\circ\text{C}$  (ก)  $1200^\circ\text{C}$  (ก)  $1250^\circ\text{C}$  และ (จ)  $1300^\circ\text{C}$  เป็นเวลา 1 ชั่วโมง

### 5.3.1.3 ผลการวิเคราะห์การเลี้ยวเบนของรังสีเอกซ์ของ $\text{Sr}_{0.8}\text{La}_{0.2}\text{Fe}_{11}\text{CoO}_{19}$ เมื่ออุณหภูมิการเผาชิน เทอร์ต่างกัน

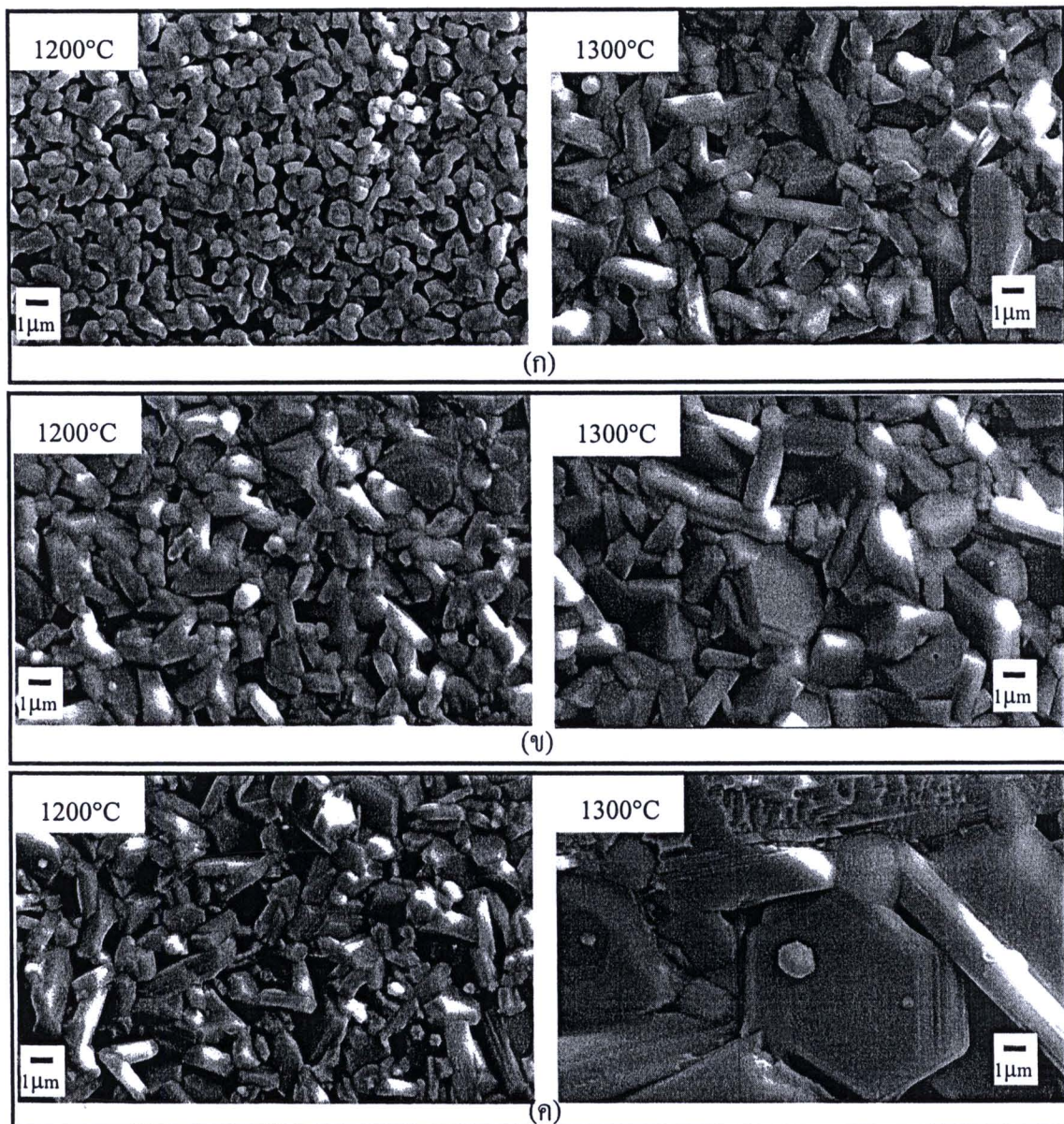
ในส่วนการวิเคราะห์รูปแบบการเลี้ยวเบนของรังสีเอกซ์ของสตรอนเทียมเฟอร์ไรท์ที่เจือແلنทานั้น และโคนอลต์ตามสูตร  $\text{Sr}_{0.8}\text{La}_{0.2}\text{Fe}_{11}\text{CoO}_{19}$  ( $x = 0.2$  และ  $y = 1.0$ ) เมื่ออุณหภูมิการเผาชินเทอร์ต่างกัน ดังแสดงในรูปที่ 5.20 พบว่าโครงสร้างหลักจะเป็นโครงสร้างของ  $\text{SrFe}_{12}\text{O}_{19}$  และจะเกิดรูปแบบของ โครงสร้าง  $\text{LaFeO}_3$  และ  $\text{CoFe}_2\text{O}_4$  เกิดขึ้นตั้งแต่ อุณหภูมิการเผาชินเทอร์ที่  $1150^\circ\text{C}$  เมื่ออุณหภูมิการเผาชินเทอร์สูงขึ้นนานาที่ไม่ทราบโครงสร้างของสารได้จะเกิดขึ้น ส่วนรูปแบบของ  $\text{CoFe}_2\text{O}_4$  และ  $\text{LaFeO}_3$  ยังคงเหลืออยู่เมื่ออุณหภูมิการเผาชินเทอร์สูงขึ้นเป็น  $1300^\circ\text{C}$  และพบรูปแบบของโครงสร้างที่ไม่สามารถระบุได้เกิดขึ้นตั้งแต่อุณหภูมิการเผาชินเทอร์เป็น  $1250^\circ\text{C}$



รูปที่ 5.20 ผลการวิเคราะห์โครงสร้างจากรูปแบบการเลี้ยวเบนของรังสีเอกซ์ของ  $\text{Sr}_{0.8}\text{La}_{0.2}\text{Fe}_{11}\text{CoO}_{19}$  เมื่อเผาชินเทอร์ที่อุณหภูมิ (ก)  $1150^\circ\text{C}$  (ห)  $1200^\circ\text{C}$  (ค)  $1250^\circ\text{C}$  และ (ล)  $1300^\circ\text{C}$  เป็นเวลา 1 ชั่วโมง

### 5.3.2 ผลการวิเคราะห์ขนาดเกรนของ $\text{Sr}_{0.8}\text{La}_{0.2}\text{Fe}_{11.8}\text{Co}_{0.2}\text{O}_{19}$ $\text{Sr}_{0.8}\text{La}_{0.2}\text{Fe}_{11.5}\text{Co}_{0.5}\text{O}_{19}$ และ $\text{Sr}_{0.8}\text{La}_{0.2}\text{Fe}_{11}\text{CoO}_{19}$ เมื่ออุณหภูมิการเผาชินเตอร์ค่างกัน

ภาพถ่ายจากกล้องจุลทรรศน์อิเล็กตรอนแบบส่องกราดที่อุณหภูมิการเผาชินเตอร์ที่  $1200^{\circ}\text{C}$  และ  $1300^{\circ}\text{C}$  ของ  $\text{Sr}_{0.8}\text{La}_{0.2}\text{Fe}_{11.8}\text{Co}_{0.2}\text{O}_{19}$   $\text{Sr}_{0.8}\text{La}_{0.2}\text{Fe}_{11.5}\text{Co}_{0.5}\text{O}_{19}$  และ  $\text{Sr}_{0.8}\text{La}_{0.2}\text{Fe}_{11}\text{CoO}_{19}$  ดังรูปที่ 5.21 พบว่าอุณหภูมิในการเผาชินเตอร์มีผลต่อขนาดของเกรโนย่างชัดเจน

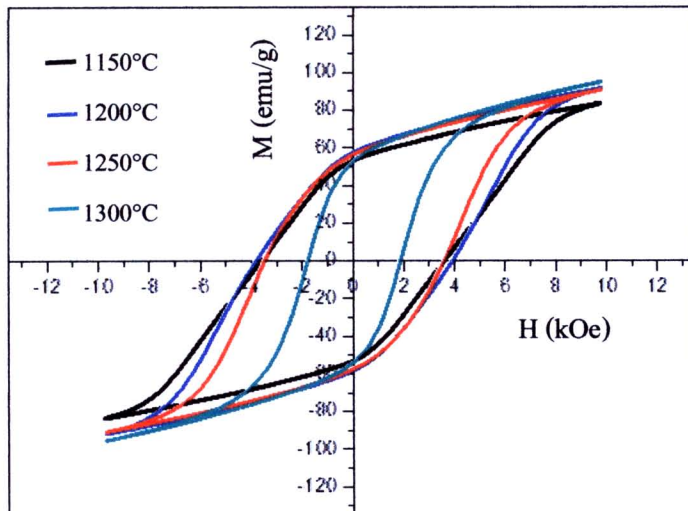


รูปที่ 5.21 ภาพถ่ายจากกล้องจุลทรรศน์อิเล็กตรอนแบบส่องกราดเมื่อเผาชินเตอร์ที่อุณหภูมิ  $1200^{\circ}\text{C}$  และ  $1300^{\circ}\text{C}$  เป็นเวลา 1 ชั่วโมง ของตัวอย่าง (ก)  $\text{Sr}_{0.8}\text{La}_{0.2}\text{Fe}_{11.8}\text{Co}_{0.2}\text{O}_{19}$  (ข)  $\text{Sr}_{0.8}\text{La}_{0.2}\text{Fe}_{11.5}\text{Co}_{0.5}\text{O}_{19}$  และ (ค)  $\text{Sr}_{0.8}\text{La}_{0.2}\text{Fe}_{11}\text{CoO}_{19}$

จากรูปที่ 5.21 แสดงลักษณะการนองของ  $\text{Sr}_{0.8}\text{La}_{0.2}\text{Fe}_{11.8}\text{Co}_{0.2}\text{O}_{19}$ ,  $\text{Sr}_{0.8}\text{La}_{0.2}\text{Fe}_{11.5}\text{Co}_{0.5}\text{O}_{19}$  และ  $\text{Sr}_{0.8}\text{La}_{0.2}\text{Fe}_{11}\text{CoO}_{19}$  เมื่อเผาชินเตอร์ที่อุณหภูมิ  $1200^\circ\text{C}$  และ  $1300^\circ\text{C}$  พบว่า ขนาดของเกรนจะมีขนาดใหญ่ขึ้นเมื่อเจือโภบลต์เพิ่มมากขึ้นและเมื่อเผาชินเตอร์ที่อุณหภูมิสูงขึ้น เมื่อพิจารณาการขยายใหญ่ขึ้นของเกรนเมื่อเจือปริมาณโภบลต์เพิ่มมากขึ้น พบว่าเมื่อเผาชินเตอร์ที่อุณหภูมิ  $1300^\circ\text{C}$  เกรนจะมีการขยายมากกว่าเผาชินเตอร์ที่อุณหภูมิ  $1200^\circ\text{C}$

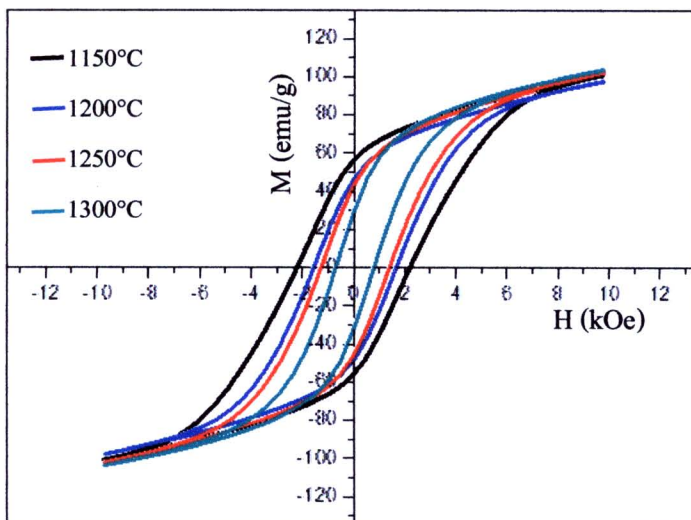
### 5.3.3 ผลการวิเคราะห์สมบัติแม่เหล็กของ $\text{Sr}_{0.8}\text{La}_{0.2}\text{Fe}_{11.8}\text{Co}_{0.2}\text{O}_{19}$ , $\text{Sr}_{0.8}\text{La}_{0.2}\text{Fe}_{11.5}\text{Co}_{0.5}\text{O}_{19}$ , และ $\text{Sr}_{0.8}\text{La}_{0.2}\text{Fe}_{11}\text{CoO}_{19}$ เมื่ออุณหภูมิการเผาชินเตอร์ต่างกัน

วงชีสเทอร์รีซิสของ  $\text{Sr}_{0.8}\text{La}_{0.2}\text{Fe}_{11.8}\text{Co}_{0.2}\text{O}_{19}$  เมื่อเผาชินเตอร์ที่อุณหภูมิ  $1150^\circ\text{C}$ ,  $1200^\circ\text{C}$  และ  $1250^\circ\text{C}$  ดังแสดงในรูปที่ 5.22 พบว่าค่าสภาพลับล้างแม่เหล็ก ของวงชีสเทอร์รีซิสจะมีค่าใกล้เคียงกัน สัมพันธ์กับขนาดเกรนในรูปที่ 4.13(ก) – (ค) ซึ่งขนาดเกรนของอุณหภูมิการเผาทั้งสามมีขนาดไม่แตกต่างกันมาก แต่เมื่อเผาชินเตอร์ที่อุณหภูมิ  $1300^\circ\text{C}$  ขนาดเกรนจะโตขึ้นมาก ซึ่งสัมพันธ์กับค่าสภาพลับล้างแม่เหล็ก ของวงชีสเทอร์รีซิสที่ลดลงอย่างมาก ค่าสภาพแม่เหล็กคงที่มีการเปลี่ยนแปลงน้อย ซึ่งอยู่ระหว่าง  $53 - 57 \text{ emu/g}$  ส่วนค่าแมกนีติโซน อิ่มตัวของ  $\text{Sr}_{0.8}\text{La}_{0.2}\text{Fe}_{11.8}\text{Co}_{0.2}\text{O}_{19}$  เมื่อเผาชินเตอร์เพิ่มขึ้นจากอุณหภูมิ  $1150^\circ\text{C}$  เป็น  $1200^\circ\text{C}$  พบว่าค่าแมกนีติโซน อิ่มตัวมีค่าสูงขึ้นจาก  $84 \text{ emu/g}$  เป็น  $92 \text{ emu/g}$  แต่เมื่อเผาชินเตอร์ที่อุณหภูมิที่สูงขึ้นพบว่าค่าแมกนีติโซน อิ่มตัวมีค่าไม่เปลี่ยนแปลงมากซึ่งอยู่ระหว่าง  $92 - 95 \text{ emu/g}$



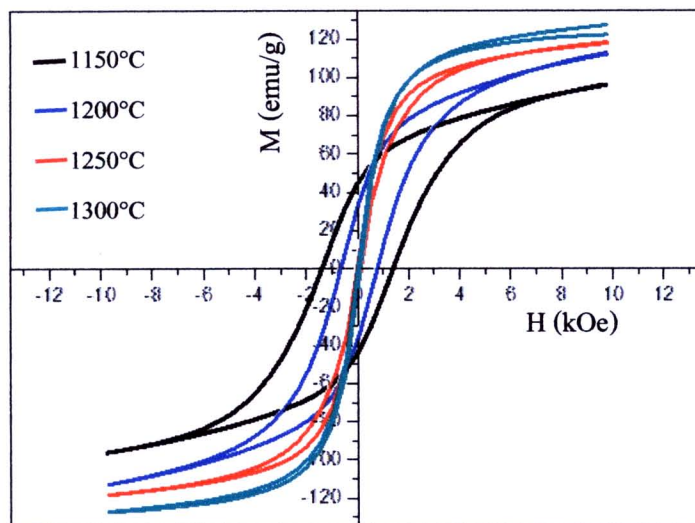
รูปที่ 5.22 วงชีสเทอร์รีซิสของ  $\text{Sr}_{0.8}\text{La}_{0.2}\text{Fe}_{11.8}\text{Co}_{0.2}\text{O}_{19}$  เมื่อเผาชินเตอร์ที่อุณหภูมิ  $1150^\circ\text{C}$ ,  $1200^\circ\text{C}$ ,  $1250^\circ\text{C}$ , และ  $1300^\circ\text{C}$  เป็นเวลา 1 ชั่วโมง

วงชีสเทอร์ริซีทของ  $\text{Sr}_{0.8}\text{La}_{0.2}\text{Fe}_{11.5}\text{Co}_{0.5}\text{O}_{19}$  เมื่อเผาเซนเตอร์ที่อุณหภูมิต่างๆ ดังแสดงในรูปที่ 5.23 รูปร่างของวงชีสเทอร์ริซีทมีลักษณะคล้ายกัน แต่กราฟจะแคนบลง (สภาพลบล้างแม่เหล็ก ลดลง) เมื่ออุณหภูมิการเผาเซนเตอร์เพิ่มขึ้น สัมพันธ์กับขนาดเกรนที่ใหญ่ขึ้นดังความอุณหภูมิการเผาที่สูงขึ้นแสดงในรูปที่ 4.14 โดยค่าสภาพลบล้างแม่เหล็ก จะค่อยๆ ลดลงตามอุณหภูมิการเผาเซนเตอร์ที่สูงขึ้น ซึ่งค่าสภาพลบล้างแม่เหล็ก จะลดลงประมาณครึ่งหนึ่งจากอุณหภูมิการเผา  $1150^{\circ}\text{C}$  เป็น  $1300^{\circ}\text{C}$  ส่วนสภาพแม่เหล็กคงค้างจะมีแนวโน้มลดลงเช่นกันเมื่ออุณหภูมิการเผาเซนเตอร์เพิ่มขึ้น โดยจะลดลงประมาณครึ่งหนึ่งจากอุณหภูมิการเผา  $1150^{\circ}\text{C}$  เป็น  $1300^{\circ}\text{C}$  ส่วนค่าแมกเน่โตเข็งยังคงตัวมีการเปลี่ยนแปลงน้อย



รูปที่ 5.23 วงชีสเทอร์ริซีทของ  $\text{Sr}_{0.8}\text{La}_{0.2}\text{Fe}_{11.5}\text{Co}_{0.5}\text{O}_{19}$  เมื่อเผาเซนเตอร์ที่อุณหภูมิ  $1150^{\circ}\text{C}$   $1200^{\circ}\text{C}$   $1250^{\circ}\text{C}$  และ  $1300^{\circ}\text{C}$  เป็นเวลา 1 ชั่วโมง

วงซีเทอร์ริซีทของ  $\text{Sr}_{0.8}\text{La}_{0.2}\text{Fe}_{11}\text{CoO}_{19}$  เมื่อเผาชินเตอร์ที่อุณหภูมิต่างๆ ดังแสดงในรูปที่ 5.24 พบว่า เกิดการเปลี่ยนแปลงของค่าสภาพพลบล้างแม่เหล็ก อย่างเห็นได้ชัด ซึ่งสัมพันธ์กับขนาดเกรนของกรน ที่โตขึ้นอย่างมากตามอุณหภูมิการเผาที่สูงขึ้นดังแสดงในรูปที่ 4.15 ส่วนสภาพแม่เหล็กคงค้างลดลง อย่างเห็นได้ชัดเช่นกัน และค่าแม่กนไตเซชันอิ่มตัวจะมีค่าเพิ่มขึ้นเมื่ออุณหภูมิในการเผาชินเตอร์ สูงขึ้น เมื่อพิจารณาปัจจุบันวงซีเทอร์ริซีทของ  $\text{Sr}_{0.8}\text{La}_{0.2}\text{Fe}_{11}\text{CoO}_{19}$  จะพบว่าเมื่ออุณหภูมิในการเผาชิน เตอร์สูงขึ้น วงซีเทอร์ริซีทจะเคลบลงทำให้มีความเป็นแม่เหล็กแบบอ่อน (Soft magnetic) มากขึ้น



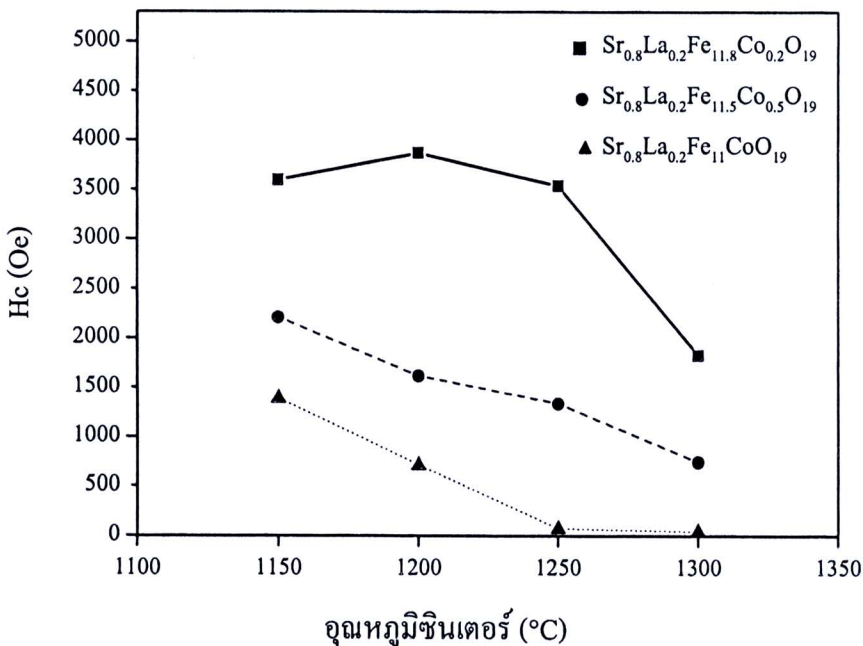
รูปที่ 5.24 วงซีเทอร์ริซีทของ  $\text{Sr}_{0.8}\text{La}_{0.2}\text{Fe}_{11}\text{CoO}_{19}$  เมื่อเผาชินเตอร์ที่อุณหภูมิ  $1150^{\circ}\text{C}$ ,  $1200^{\circ}\text{C}$ ,  $1250^{\circ}\text{C}$  และ  $1300^{\circ}\text{C}$  เป็นเวลา 1 ชั่วโมง

วงจรสเทอร์รีซึ่งของ  $\text{Sr}_{0.8}\text{La}_{0.2}\text{Fe}_{11.8}\text{Co}_{0.2}\text{O}_{19}$ ,  $\text{Sr}_{0.8}\text{La}_{0.2}\text{Fe}_{11.5}\text{Co}_{0.5}\text{O}_{19}$  และ  $\text{Sr}_{0.8}\text{La}_{0.2}\text{Fe}_{11}\text{CoO}_{19}$  ที่วัดด้วย เครื่องวัดสมบัติแม่เหล็กแบบตัวอย่างสั้น ค่าสมบัติแม่เหล็กที่วัดได้ประกอบด้วยค่าสภาพพลบล้าง แม่เหล็ก สภาพแม่เหล็กคงค้าง (Remanence) และค่าแมกนีติเดชันอิมตัวแสดงตารางที่ 5.3

ตารางที่ 5.3 ค่าสภาพพลบล้างแม่เหล็ก ( $H_c$ ) สภาพแม่เหล็กคงค้าง ( $M_r$ ) และค่าแมกนีติเดชันอิมตัว ( $M_s$ ) ของ  $\text{Sr}_{0.8}\text{La}_{0.2}\text{Fe}_{11.8}\text{Co}_{0.2}\text{O}_{19}$ ,  $\text{Sr}_{0.8}\text{La}_{0.2}\text{Fe}_{11.5}\text{Co}_{0.5}\text{O}_{19}$  และ  $\text{Sr}_{0.8}\text{La}_{0.2}\text{Fe}_{11}\text{CoO}_{19}$  ที่ อุณหภูมิการเผาชินเตอร์ต่างๆ

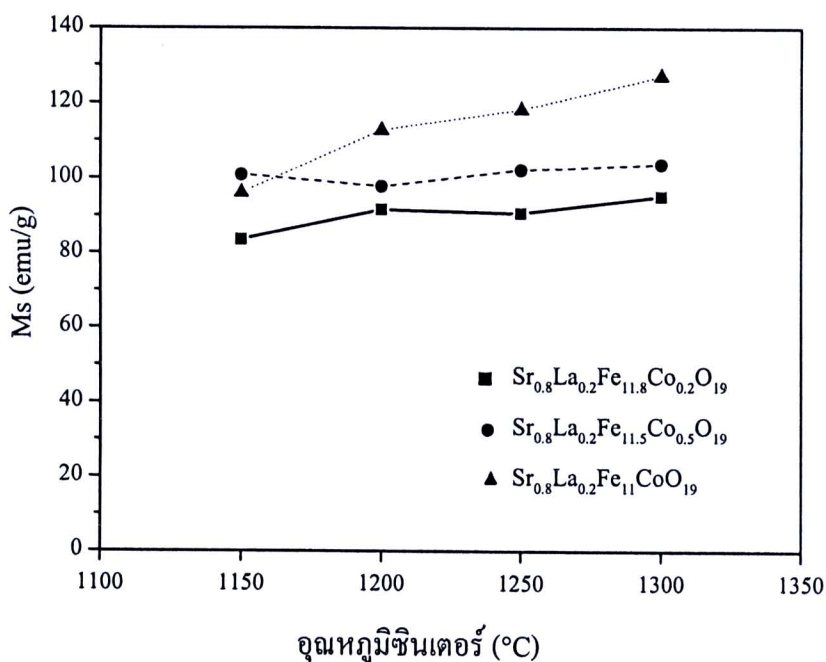
ตัวอย่าง	รหัส	อุณหภูมิชิน เตอร์ ( $^{\circ}\text{C}$ )	$H_c$ (Oe)	$M_s$ (emu/g)	$M_r$ (emu/g)
$\text{Sr}_{0.8}\text{La}_{0.2}\text{Fe}_{11.8}\text{Co}_{0.2}\text{O}_{19}$	SLCF1-02	1150	3597	84	53
	SLCF2-02	1200	3867	92	58
	SLCF3-02	1250	3535	91	57
	SLCF4-02	1300	1824	95	53
$\text{Sr}_{0.8}\text{La}_{0.2}\text{Fe}_{11.5}\text{Co}_{0.5}\text{O}_{19}$	SLCF1-05	1150	2205	101	56
	SLCF2-05	1200	1614	98	48
	SLCF3-05	1250	1332	102	45
	SLCF4-05	1300	744	104	31
$\text{Sr}_{0.8}\text{La}_{0.2}\text{Fe}_{11}\text{CoO}_{19}$	SLCF1-10	1150	1387	96	44
	SLCF2-10	1200	711	119	35
	SLCF3-10	1250	73	118	6
	SLCF4-10	1300	44	127	4

จากรูปที่ 5.25 แสดงค่าสภารอบลังแม่เหล็ก ของ  $\text{Sr}_{0.8}\text{La}_{0.2}\text{Fe}_{11.8}\text{Co}_{0.2}\text{O}_{19}$   $\text{Sr}_{0.8}\text{La}_{0.2}\text{Fe}_{11.5}\text{Co}_{0.5}\text{O}_{19}$  และ  $\text{Sr}_{0.8}\text{La}_{0.2}\text{Fe}_{11}\text{CoO}_{19}$  เมื่อเผาชินเตอร์ที่อุณหภูมิ  $1150^{\circ}\text{C}$   $1200^{\circ}\text{C}$   $1250^{\circ}\text{C}$  และ  $1300^{\circ}\text{C}$  พบว่าค่าสภารอบลังแม่เหล็ก ของ  $\text{Sr}_{0.8}\text{La}_{0.2}\text{Fe}_{11.8}\text{Co}_{0.2}\text{O}_{19}$  จะมีค่าเพิ่มขึ้นเล็กน้อยเมื่อเผาชินเตอร์ที่อุณหภูมิ  $1150^{\circ}\text{C}$  ถึง  $1200^{\circ}\text{C}$  และมีแนวโน้มลดลงตามอุณหภูมิการเผาชินเตอร์ที่  $1300^{\circ}\text{C}$  สำหรับค่าสภารอบลังแม่เหล็ก ของ  $\text{Sr}_{0.8}\text{La}_{0.2}\text{Fe}_{11.5}\text{Co}_{0.5}\text{O}_{19}$  และ  $\text{Sr}_{0.8}\text{La}_{0.2}\text{Fe}_{11}\text{CoO}_{19}$  มีแนวโน้มลดลงตามการเผาชินเตอร์ที่สูงขึ้น ซึ่งสัมพันธ์กับขนาดของเกรน นั่นคือขนาดเกรนใหญ่ขึ้นจะทำให้ค่าสภารอบลังแม่เหล็ก ลดลง และค่าที่ได้พบว่า ที่อุณหภูมิการเผาชินเตอร์เดียวกัน ค่าสภารอบลังแม่เหล็ก จะลดลงเมื่อปริมาณการเจือ โคบอลต์เพิ่มขึ้น เนื่องจาก Co ที่เจือลงไปจะไปทำให้พลังงาน exchange ลดลง [19] ค่าสภารอบลังแม่เหล็ก ของตัวอย่างทั้งสามที่ได้ค่านากที่สุดได้จาก  $\text{Sr}_{0.8}\text{La}_{0.2}\text{Fe}_{11.8}\text{Co}_{0.2}\text{O}_{19}$  เมื่อเผาชินเตอร์ที่อุณหภูมิ  $1200^{\circ}\text{C}$  ซึ่งมีค่า  $3868\text{ Oe}$



รูปที่ 5.25 ผลของค่าสภารอบลังแม่เหล็ก ( $H_c$ ) ของ  $\text{Sr}_{0.8}\text{La}_{0.2}\text{Fe}_{11.8}\text{Co}_{0.2}\text{O}_{19}$   $\text{Sr}_{0.8}\text{La}_{0.2}\text{Fe}_{11.5}\text{Co}_{0.5}\text{O}_{19}$  และ  $\text{Sr}_{0.8}\text{La}_{0.2}\text{Fe}_{11}\text{CoO}_{19}$  เมื่อเผาชินเตอร์ที่อุณหภูมิ  $1150^{\circ}\text{C}$   $1200^{\circ}\text{C}$   $1250^{\circ}\text{C}$  และ  $1300^{\circ}\text{C}$  เป็นเวลา 1 ชั่วโมง

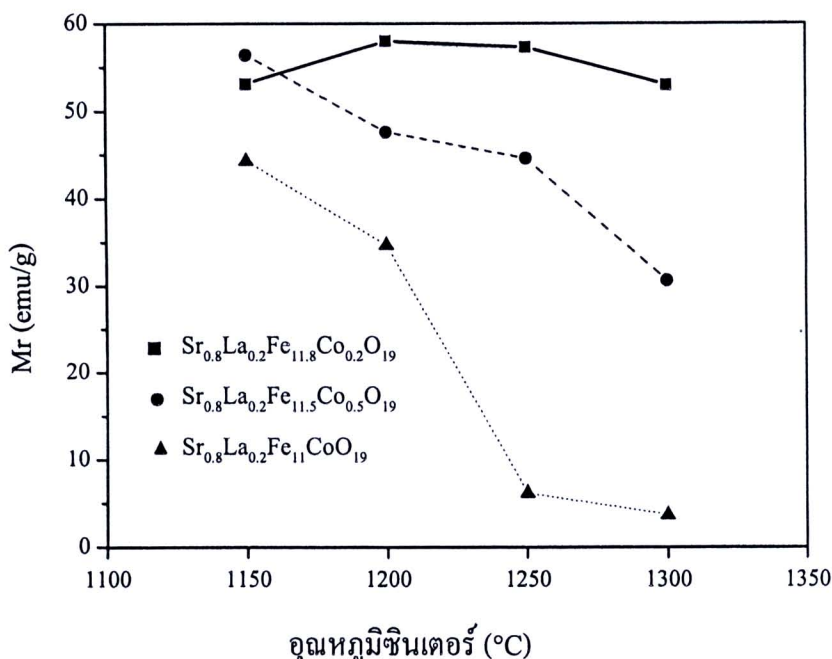
ค่าแมกเน่ໄຕเซชันอิมตัว (Ms) ของ  $\text{Sr}_{0.8}\text{La}_{0.2}\text{Fe}_{11.8}\text{Co}_{0.2}\text{O}_{19}$ ,  $\text{Sr}_{0.8}\text{La}_{0.2}\text{Fe}_{11.5}\text{Co}_{0.5}\text{O}_{19}$  และ  $\text{Sr}_{0.8}\text{La}_{0.2}\text{Fe}_{11}\text{CoO}_{19}$  เมื่อเผาชินเตอร์ที่อุณหภูมิ  $1150^{\circ}\text{C}$   $1200^{\circ}\text{C}$   $1250^{\circ}\text{C}$  และ  $1300^{\circ}\text{C}$  จากรูปที่ 5.26 พบว่า ปริมาณในการเจือโคนอลต์มีผลต่อค่าแมกเน่ໄຕเซชันอิมตัว ซึ่งเมื่อเจือโคนอลต์มากขึ้นค่าแมกเน่ໄຕเซชันอิมตัวจะมีค่าสูงขึ้น ในกรณีที่อุณหภูมิในการเผาชินเตอร์เพิ่มขึ้น พบว่าค่าแมกเน่ໄຕเซชัน อิมตัวของ  $\text{Sr}_{0.8}\text{La}_{0.2}\text{Fe}_{11.8}\text{Co}_{0.2}\text{O}_{19}$  และ  $\text{Sr}_{0.8}\text{La}_{0.2}\text{Fe}_{11.5}\text{Co}_{0.5}\text{O}_{19}$  มีแนวโน้มคงที่เมื่ออุณหภูมิในการเผาชินเตอร์สูงขึ้น ส่วนค่าแมกเน่ໄຕเซชันอิมตัวของ  $\text{Sr}_{0.8}\text{La}_{0.2}\text{Fe}_{11}\text{CoO}_{19}$  มีแนวโน้มเพิ่มขึ้นเมื่ออุณหภูมิในการเผาชินเตอร์สูงขึ้น ซึ่งทำให้ทราบว่าเมื่อเจือโคนอลต์ในปริมาณ  $y = 1.0$  ลงไปจะทำให้ไม่มีผลต่อแม่เหล็กมีปริมาณมากขึ้น อาจเนื่องมาจากเมื่อเจือโคนอลต์มากขึ้นจะเกิดโครงสร้างอื่นนอกเหนือจากโครงสร้าง  $\text{SrFe}_{12}\text{O}_{19}$  ค่าแมกเน่ໄຕเซชันอิมตัวที่มีค่าสูงที่สุด  $127 \text{ emu/g}$  ได้จากอุณหภูมิการเผาชินเตอร์ที่  $1300^{\circ}\text{C}$  ของ  $\text{Sr}_{0.8}\text{La}_{0.2}\text{Fe}_{11}\text{CoO}_{19}$  ซึ่งค่าแมกเน่ໄຕเซชันอิมตัวมีแนวโน้มสูงขึ้นอีกเมื่อเจือปริมาณโคนอลต์เพิ่มขึ้นและเผาชินเตอร์ที่อุณหภูมิสูงกว่า  $1300^{\circ}\text{C}$



รูปที่ 5.26 แมกเน่ໄຕเซชันอิมตัว (Ms) ของ  $\text{Sr}_{0.8}\text{La}_{0.2}\text{Fe}_{11.8}\text{Co}_{0.2}\text{O}_{19}$ ,  $\text{Sr}_{0.8}\text{La}_{0.2}\text{Fe}_{11.5}\text{Co}_{0.5}\text{O}_{19}$  และ  $\text{Sr}_{0.8}\text{La}_{0.2}\text{Fe}_{11}\text{CoO}_{19}$  เมื่อเผาชินเตอร์ที่อุณหภูมิ  $1150^{\circ}\text{C}$   $1200^{\circ}\text{C}$   $1250^{\circ}\text{C}$  และ  $1300^{\circ}\text{C}$  เป็นเวลา 1 ชั่วโมง



พิจารณสภาวะแม่เหล็กคงค้างจากรูปที่ 5.27 พบว่าสภาวะแม่เหล็กคงค้างมีค่าขึ้นกับปริมาณการเจือโคนอลต์ โดยที่ปริมาณการเจือโคนอลต์เพิ่มขึ้นค่าสภาวะแม่เหล็กคงค้างมีแนวโน้มลดลง เมื่อพิจารณาค่าสภาวะแม่เหล็กคงค้างจากอุณหภูมิในการเผาชินเตอร์ พบว่า เมื่ออุณหภูมิการเผาชินเตอร์เพิ่มขึ้นจาก  $1150^{\circ}\text{C}$  ถึง  $1200^{\circ}\text{C}$  ค่าสภาวะแม่เหล็กคงค้างมีค่าเพิ่มขึ้น แต่เมื่อเผาชินเตอร์ที่อุณหภูมิสูงขึ้นค่าสภาวะแม่เหล็กคงค้างมีแนวโน้มลดลง เมื่อเผาชินเตอร์ที่อุณหภูมิสูงขึ้นจาก  $1150^{\circ}\text{C}$  ถึง  $1300^{\circ}\text{C}$  ค่าสภาวะแม่เหล็กคงค้างของ  $\text{Sr}_{0.8}\text{La}_{0.2}\text{Fe}_{11.5}\text{Co}_{0.5}\text{O}_{19}$  และ  $\text{Sr}_{0.8}\text{La}_{0.2}\text{Fe}_{11}\text{CoO}_{19}$  ค่าลดลง และได้ค่าสภาวะแม่เหล็กคงค้างต่ำที่สุดคือ  $4 \text{ emu/g}$  เมื่อเจือโคนอลต์  $y = 1.0$  และเผาชินเตอร์ที่อุณหภูมิ  $1300^{\circ}\text{C}$  พิจารณาจากรูปที่ 5.27 พบว่าปริมาณการเจือโคนอลต์มีผลต่อการลดลงของค่าแมกเน่ไ泰เซชันเมื่ออุณหภูมิการเผาชินเตอร์สูงขึ้น นั่นคือเมื่ออุณหภูมิการเผาชินเตอร์สูงขึ้นการเจือโคนอลต์มากจะทำให้ค่าสภาวะแม่เหล็กคงค้างลดลง ได้มากกว่าในกรณีที่เจือโคนอลต์น้อย ซึ่งจากข้อมูลที่ได้ถ้าเจือโคนอลต์มากกว่า  $y = 1.0$  หรือเผาชินเตอร์ให้อุณหภูมิสูงกว่า  $1300^{\circ}\text{C}$  ค่าสภาวะแม่เหล็กคงค้างมีแนวโน้มจะมีค่า่น้อยกว่า  $4 \text{ emu/g}$



รูปที่ 5.27 สภาพแม่เหล็กคงค้าง (Mr) ของ  $\text{Sr}_{0.8}\text{La}_{0.2}\text{Fe}_{11.8}\text{Co}_{0.2}\text{O}_{19}$ ,  $\text{Sr}_{0.8}\text{La}_{0.2}\text{Fe}_{11.5}\text{Co}_{0.5}\text{O}_{19}$  และ  $\text{Sr}_{0.8}\text{La}_{0.2}\text{Fe}_{11}\text{CoO}_{19}$  เมื่อเผชิญเตอร์ที่อุณหภูมิ  $1150^\circ\text{C}$ ,  $1200^\circ\text{C}$ ,  $1250^\circ\text{C}$  และ  $1300^\circ\text{C}$  เป็นเวลา 1 ชั่วโมง